

gemi mühendisliği

DYO, üstünlüğünü perçinliyor...



Türkiye'de DYO'yu seçti



1959'da kurulan Transocean Marine Paint Association güçlü boyacı üreticilerini kapsayan uluslararası bir birliktir.

Hangi limanda olursa olsun, bir boyacı problemiyle karşılaşan gemiler birliğin o ülkeyedeki üyesine başvurarak aradıkları yüksek kaliteli deniz boyasını hemen temin edebilirler.

Şimdi ülkemizin limanları da bu kolaylığı sağlıyor. DYO'nun üyeliğe seçildiği Ocak 1974'ten beri, DYO'ya başvuran gemiler her türlü boyacı bakımlarını Türkiye'de de yapabiliyor.

DYO, dünya standartlarında bir kalite üstünlüğüne sahip olduğunu bu uluslararası birliğe seçilerek bir kez daha ispatlamıştır.

duo
boyada birinci

*Uluslararası
Deniz Boyası
Üreticileri Birliği

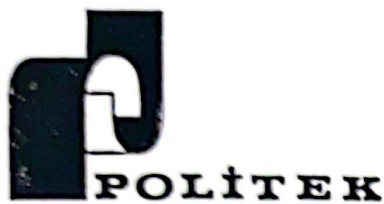
DYO,
Yaşar Holding'e
dahil bir kuruluşur.

tm.m.o.b. gemi mühendisleri odası yayın organı

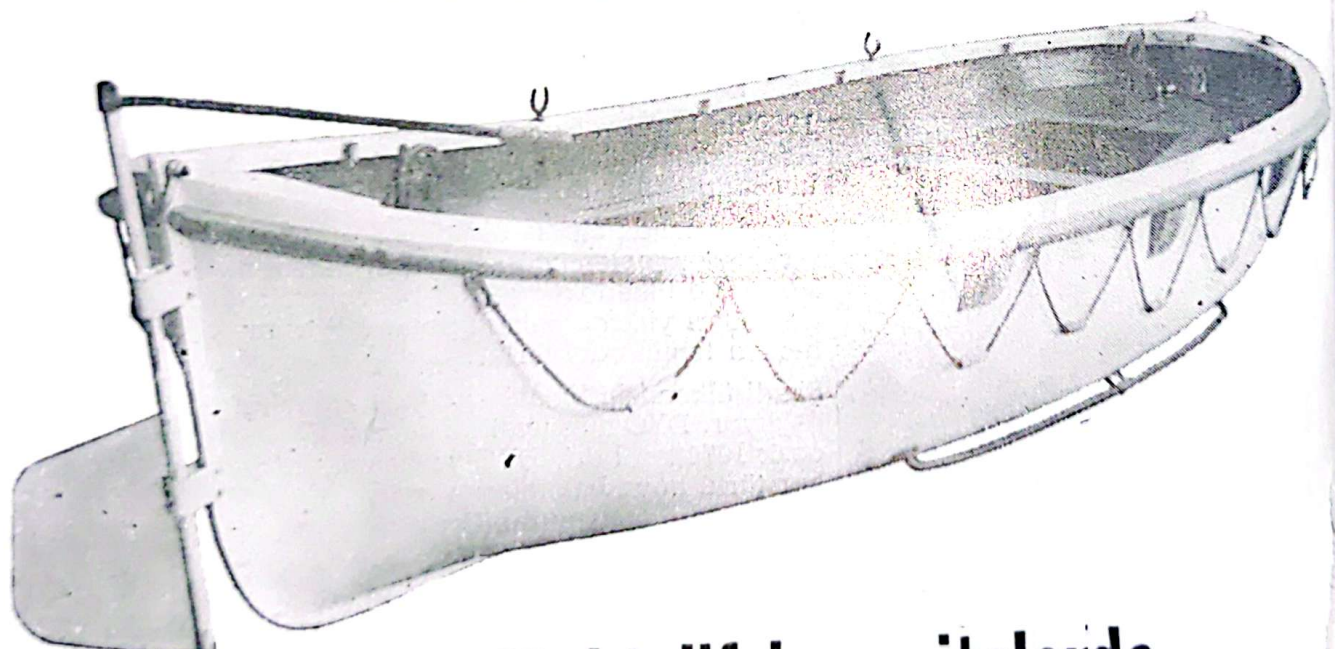
sayı: 61

Ekim 1975

**POLİTEK
SANAYİ ve TİCARET
BÜLENT AKSOY**



gemi inşa sanayinin hizmetinde



- _ Muhtelif kapasitelerde
fiberglas tahlisiye filikaları**
- _ Sürat tekneleri**
- _ Yat, kotra imalatı ve botlar**

FAB:

BAĞDAT CAD. 335/C
CEVİZLİ - MALTEPE

52 14 89

sungurlar skoç tipi kazanları

Sungurlar skoç kazanları
klas kuruluşların *kontrolu altında
inşa edilmektedir.

* klas kuruluşlar

Türk İlycdarı
Germanischer Lloyd
American Bureau of Shipping
Bureau Veritas
Lloyd's Register of Shipping

referanslar

1 Adet 310 m ² 15 Atü VİKING KAĞIT FAB. (İzmir)	1 " 350 m ² 8 Atü AKSU MENSUCAT (İstanbul)
1 " 300 m ² 12 Atü TURYAĞ (İzmir)	1 " 375 m ² 12 Atü TEKEL PAŞABAHÇE (İst.)
2 " 225 m ² 12 Atü SANCAK TÜL (İstanbul)	1 " 680 m ² 11 Atü COCA COLA (Manisa)
2 " 200 m ² 5 Atü BP (Bursa)	2 " 360 m ² 13 Atü TÜRK TUBORG (İzmir)
2 " 310 m ² 15 Atü TAT KONSERVE (Bursa)	1 " 225 m ² 12 Atü AYEKS YAĞ FAB. (İstanbul)
1 " 270 m ² 15 Atü ÖDEMİŞ GEMİSİ	4 " 300 m ² 10 Atü EGE ÜNİVERSİTESİ (İzmir)

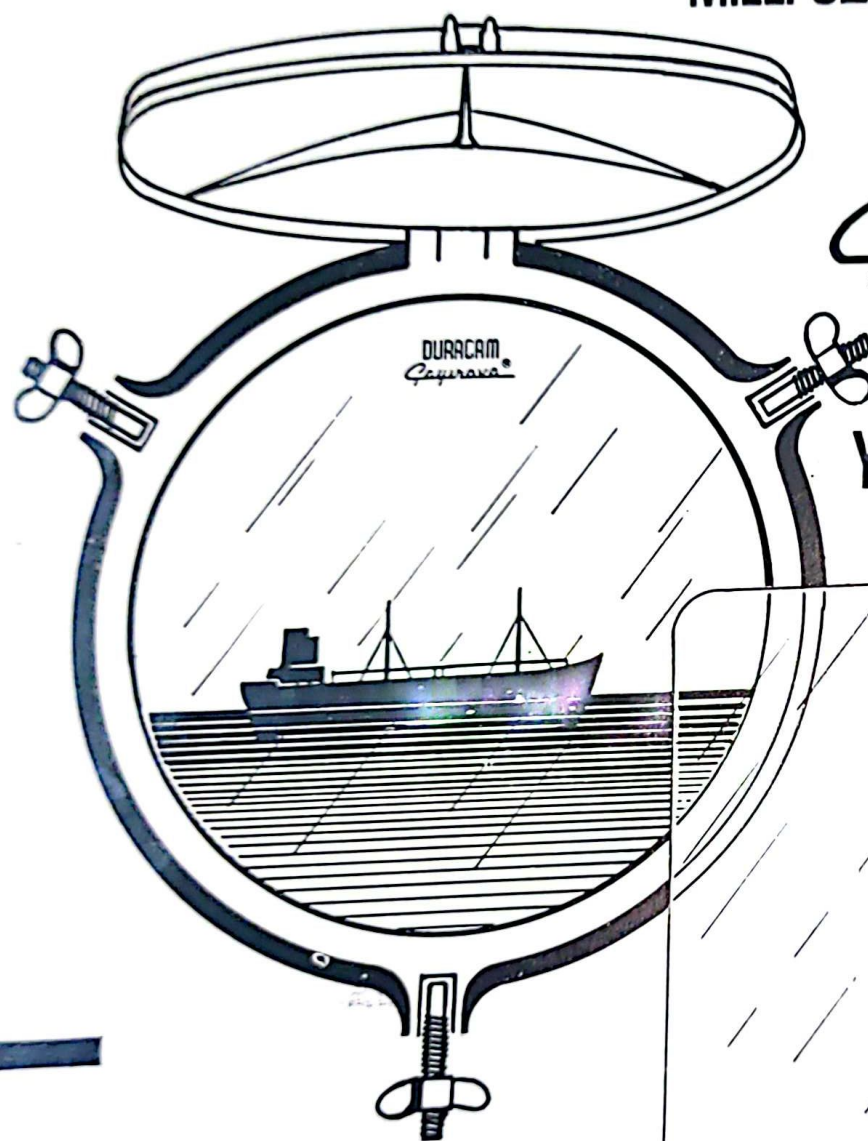


SUNGURLAR
ISI SANAYİİ ANONİM ŞİRKETİ

1947 den beri yurt hizmetinde

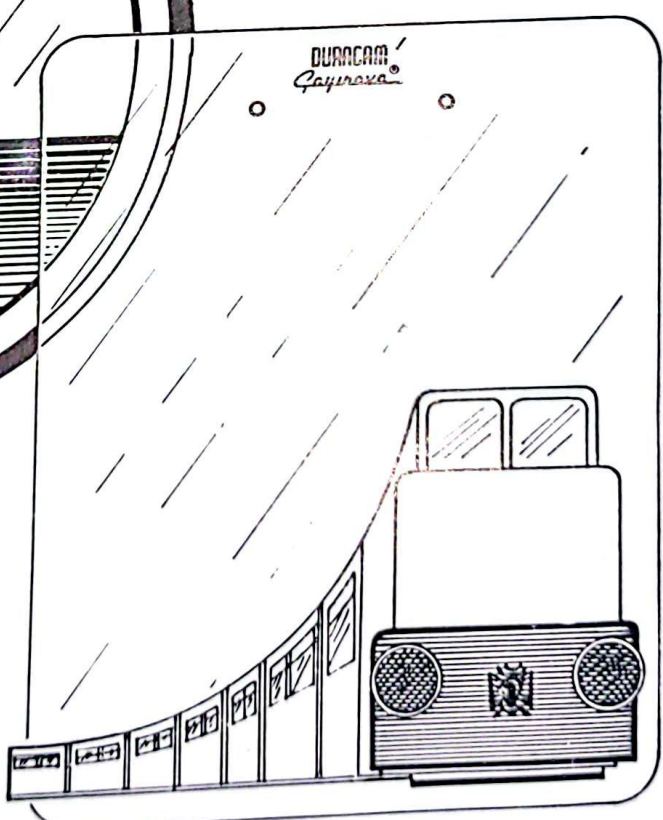
TÜRKİYE ŞİŞE VE CAM FABRİKALARI A.Ş.

MİLLİ ULAŞTIRMA SANAYİİNDE



DURACAM
Gayrava®

MAMULLERİ İLE
YURT HİZMETİNDE...



Genel Satıcı : Pasabahçe® TİC. LTD. ŞTİ.
İstiklal Cad. No. 314 Beyoğlu-İstanbul
Tel. : 49 59 08 - 49 95 61 - 49 95 52



TÜRKİYE ŞİŞE VE CAM FABRİKALARI A.Ş.

Pasabahçe®. Gayrava®. Tepkapi®. Teknikcam®. CAMELYAF®



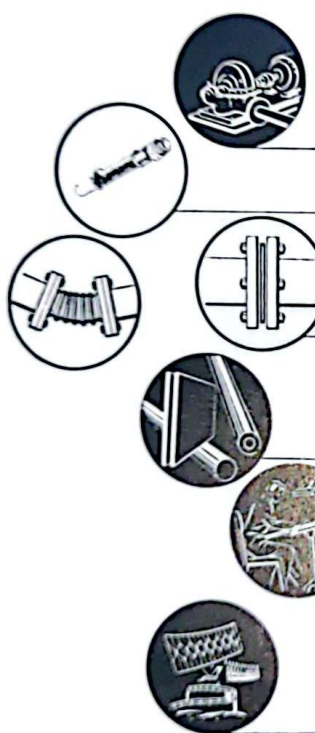


TEFLON[®] DuPont registered trademark (R)

TEFLON

MAMULLER İLE KESİN ÇÖZÜM

Yüksek termal dayanım.+270°C
En soğukta bile kırılgan değil.-250°C
En kaygan malzeme.
Yüzeyine hiçbirşey yapışmaz.
En iyi kimyasal dayanım.
Hava şartlarına mutlak direnç.
Yüksek dielektrik dayanımı.



Salmastrolar Fleksibl Hortumlar

Contalar ve Genlesme Körükleri

Levha, Takoz, Çubuk, Boru, Bant

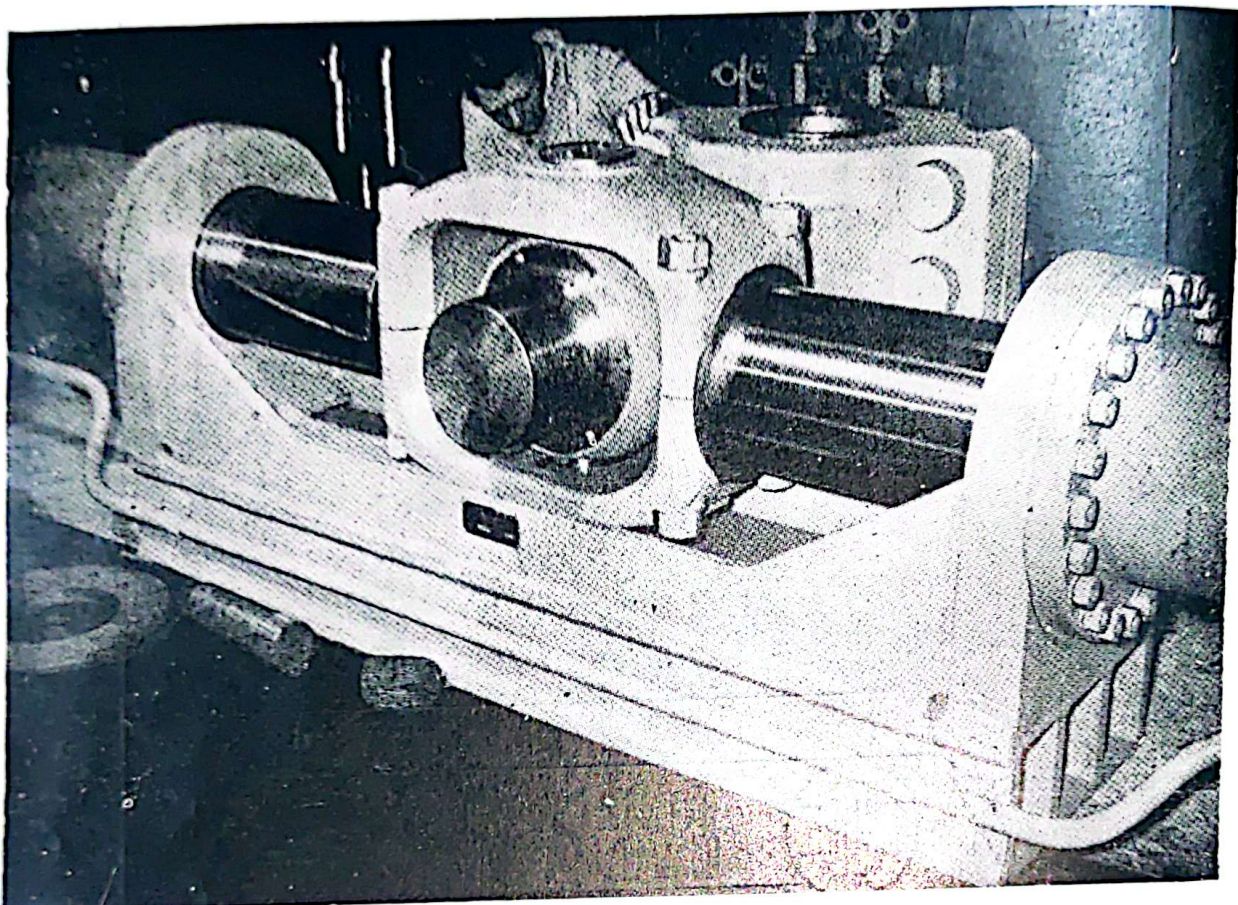
Özel Parçalar

Elektrik ve Elektronik Sanayii için Komponentler

Adres: Necatibey Caddesi Karaköy Fırrı Sok. 51
KARAKÖY-İSTANBUL
Telg : FENKARA-İSTANBUL
Tel : 49 4171-44 7044

offset grafi

SVENDBORG DÜMEN MAKİNALARI



3000 gemi SVENDBORG ELECTRO - HİDROLİK DÜMEN MAKİNASI kullanıyor
Motorfabriken Bukh A/S Kalundborg, Danimarka

Türkiye Genel Acentesi : YEDİ DENİZ, Kabataş Derya Han 205 İstanbul
Telefon : 49 17 85

Çıkış Tarihi : 29.1.1976

GEMİ MÜHENDİSLİĞİ

S AYLIK MESLEK DERGİSİ

T. M. M. O. B. Gemi Mühendisleri

Odası Adına

Sahibi : TAŞKIN ÇILLİ

Yazı İşleri Müdürü :

Selçuk SEDEN

Yazı Kurulu :

Bülent ŞENER

Tamer BALÇIK

Ferhat ÖZER

Mehmet PEHLİVAN

Yönetim Yeri :

T. M. M. O. B. Gemi Mühendisleri

Odası

Fındıklı, Meclis-i Mebusan Cad-

desi No : 115 - 117

Tel.: 49 04 86

Dizgi, Tertip, Baskı ve Cilt :

Matbaa Teknisyenleri Basimevi

Divanyolu, Beşikiyurdu Sok. 12.

Tel.: 22 50 61

REKLAM ÜCRETLERİ

Ön kapak : 1500 TL.

Ön kapak içi : 750 TL.

Arka kapak : 1000 TL.

Tam sayfa : 500 TL.

Yarım sayfa : 300 TL.

Ücretler siyah - beyaz reklâm
içindir, renk farkı ayrıca alınır.
Klişe ücretleri reklâm sahiplerin-
ce ödenir.

Flatı : 10 TL.

Yıllık abone : 40 TL.

KURULUŞ : NİSAN 1955

- 1 — Dergide yayınlanmak üzere gönderilecek yazılar yazı makinası ile yazılacak ve satırların arası sık olmayacağıdır. Yazılarla birlikte gönderilmış şekillerin çini mürekkebi ile aydinger kâğıdına çizilmiş olması, fotoğrafların parlak resim kâğıdına net olarak çekilmiş olması gereklidir.
- 2 — Gönderilen yazı ve resimler yayınlanın veya yayınlanmasın geri verilmez.
- 3 — Yayınlanan yazılardaki düşünceler ve teknik kanıtlar yazarına ilişkindir, Gemi Mühendisleri Odası ve dergiye sorumluluk yüklemeyez.
- 4 — Yayınlanan çevirilerin sorumluluğu çevirenindir.
- 5 — Dergideki yazılar kaynak gösterilmek koşulu ile başka bir yerde yayınlanabilir.

gemi mühendisliği

Sayı : 61 EKİM 1975

Teodolit yardımıyla mevcut geminin en-
dazesinin belirlenmesi 2

Garabet KOCAOĞLU

Roll an - Roll of tipi gemilerde motorlu
araç ambarlarının havalandırılması 18

Nejat ÜNER - Ercüment DUMLU

«Destatör» Tankerlerde İnfilâkları Önle-
mek İçin Yeni bir Metod 24

Bülent ÖZGELİKMEN

Tersaneler İş Durumları 27

TEODOLİT YARDIMIYLE MEVCUT GEMİNİN ENDAZESİNİN BELİRLENMESİ

Yazan: GARABET KOCAOĞLU
Gemi İnga ve Mak. Yük. Müh.

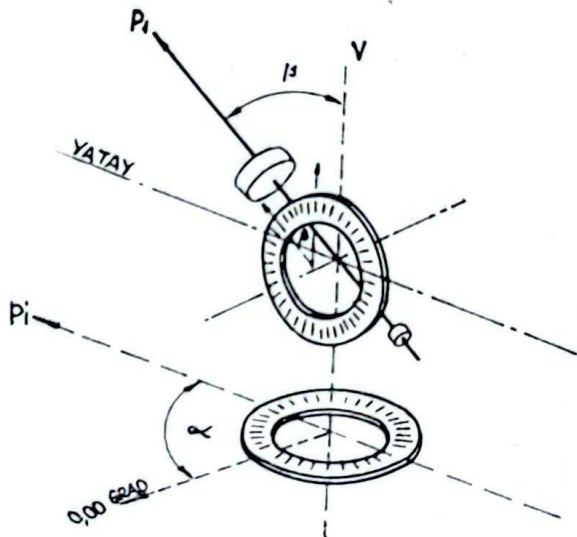
Gemi inşaatı sanayiinde mevcut geminin endazesinin belirlenmesi herhalde ender karşılaşılan problemlerden biridir. Ancak, kişi böyle bir problemle karşılaşsa ne yapar? Tabiatıyla her engeli aşmanın bir yolu vardır. Mevcut gemiden endaze çıkartmanın da muhtelif yolları olduğu bilinmektedir. Problemin esası gemi üzerinde hayali en kesit düzlemleri sistemini kurmak ve bu düzlemlle geminin arakesit noktalarını belirleyip: bunların kaidesden yüksekliğiyle, merkez hattından uzaklığını tayin etmekten ibaretdir. Bu işlemler tekne boyutuna göre farklı yaklaşımlar gerektirir. Örneğin on metre boyundaki bir tekne formu belki sadece çitalar yardımıyle belirlenebilir. Boyutlar büyükçe işlemi kolaylaştmak ve belirli bir hassasiyeti sağlamak için su terazisi ve şakul gibi doğruların diklikle yataylığını garantiyecek araçlardan yararlanmak mümkündür. Ancak boyelli metreye çıkar da bu uzunlukta bir yatay doğru tarif etmek gerekirse herhalde su terazisinden daha hassas bir alet kullanmak gerekecektir.

Geçenlerde böyle nadir görülen olaylardan biriyle karşılaştık. Elli kürsür metre boyunda ve 8.8 m genişliğinde takriben 3.95 m draftı olan bir geminin özel endazesinin çıkartılması istendi. Ayrıca özel nedenselere işin en kısa sürede bitirilmesi gerekiydi. Problem bu olunca çözümü için özel bir yöntemin gerekeceği aşikardı. Muhtelif araştırmalardan sonra, inşaat mühendisliğinde kullanılan «teodolit» aletinden istifade etmenin uygun olacağı görüşü kuvvet kazandı ve aşağıda açıklanan yöntem geliştirildi.

Teodolit

İtiraf etmek gerekir ki önceleri «teodolit» bir yardımcı olduğu kadar başlı-

başına bir problemdi de, zira hayatı ilk olarak kullanıyorduk. Gemi inşaatı mühendislerinden ne kadarının teodoliti daha önce kullandığını bilmiyorum ama burda aletin kısaca tanıtılmasında belki yarar vardır. Teodolit şekil 1 de görüldüğü gibi bakılan P_1 noktasının cihazla yaptığı β düşey açısıyla bilinen bir doğrultudan yaptığı α yatay açısını ölçmekte kullanılır.

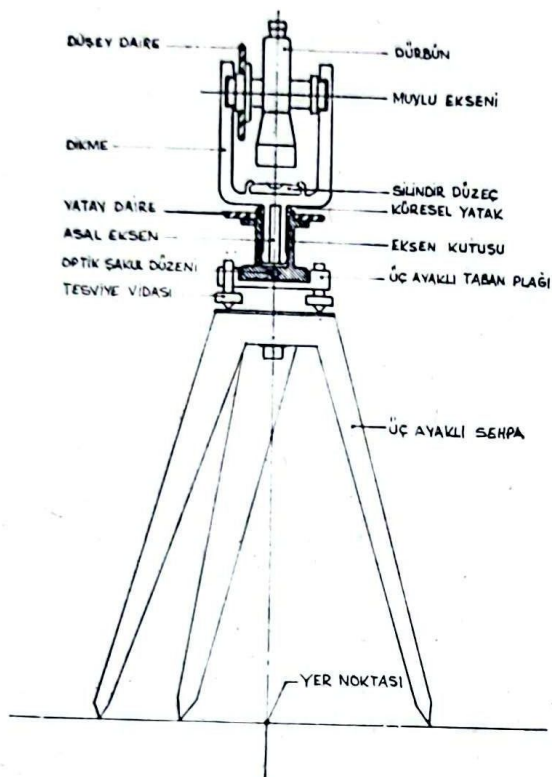


Şekil 1
Teodolitle ölçülen açılar

Teodolitin önemli kısımlarını sematik olarak gösteren şekil 2 ye bakalım. Teodolitin üç ana kısımdan ibaret olduğunu görürüz. Sabit alt kısımla üç ayaklı taban plağı, hareketli üst kısmı, ve dürbünl. Cihaz sabit alt kısımdan ayaklarının açıklığı ve yüksekliği ayarlanabilen üç ayaklı bir sehpaya monte edilerek kullanılır. Hareketli üst kısmı alidat denir. Alidat düşey yani asal eksen etrafında döndürülebilir, ve yatay dairenin okuma tertibatını kapsar. Dikmeler üzerine testbit edilmiş dürbünl müylü ekseni etrafında hareketle düşey dairenin okuma tertibatını da kapsar. Aletin tesviyesi için

birtakım düşey ve yatay düzlemler vardır. Aletin düşey ekseninin yer noktasından geçmesi için optik şakul kullanılır.

Dürbiün muylu ekseni ve asal eksen etrafında döndürüülerek istenen noktaya kabaca yöneltilir ve ince ayar vidalarıyla nokta hassas olarak merkezlenir.



Şekil 2

Sematik olarak teodolitin kısımları

Teodolitle açıların doğru olarak ölçülebilmesi için aletin eksenleri aşağıdaki şartları sağlamalıdır.

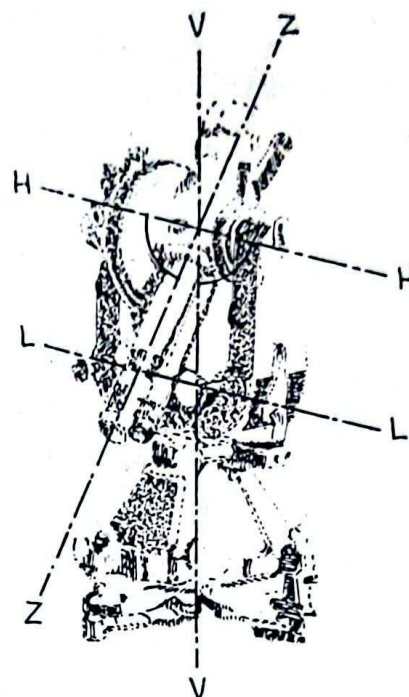
1 — Silindir düzeg eksenini asal eksene dik olmalıdır. ($LL \perp VV$)

2 — Gözleme eksenini muylu eksenine dik olmalıdır. ($ZZ \perp HH$)

3 — Muylu eksenini asal eksene dik olmalıdır. ($HH \perp VV$)

4 — Silindir düzeg ekseninin yatay duruma getirilen gözleme eksenine paralel olması gereklidir.

Bu şartlar şekil 3 de şematik olarak gösterilmiştir.



Şekil 3
Teodolit eksenleri

Teodolitle ölçüm metodu

Teodolitle bulunan değerler yarıdımıyle endaze noktalarının bulunması trigonometrik bağıntılar yardımıyla yapılmaktadır. İşin esası birtakım büyülükleri bilinen üçgenlerin diğer elemanlarının hesaplanması dayanır.

Bir noktanın yerini tespit etmek için en az iki konumda gözlem yapılmalıdır. Şekil 4 deki I ve II teodolitin kuruluduğu iki ayrı gözlem noktalarıdır. Bunların K noktasından olan düşey ve yatay mesafeleri yani h_1 , d_1 , h ve w bilinmelidir.

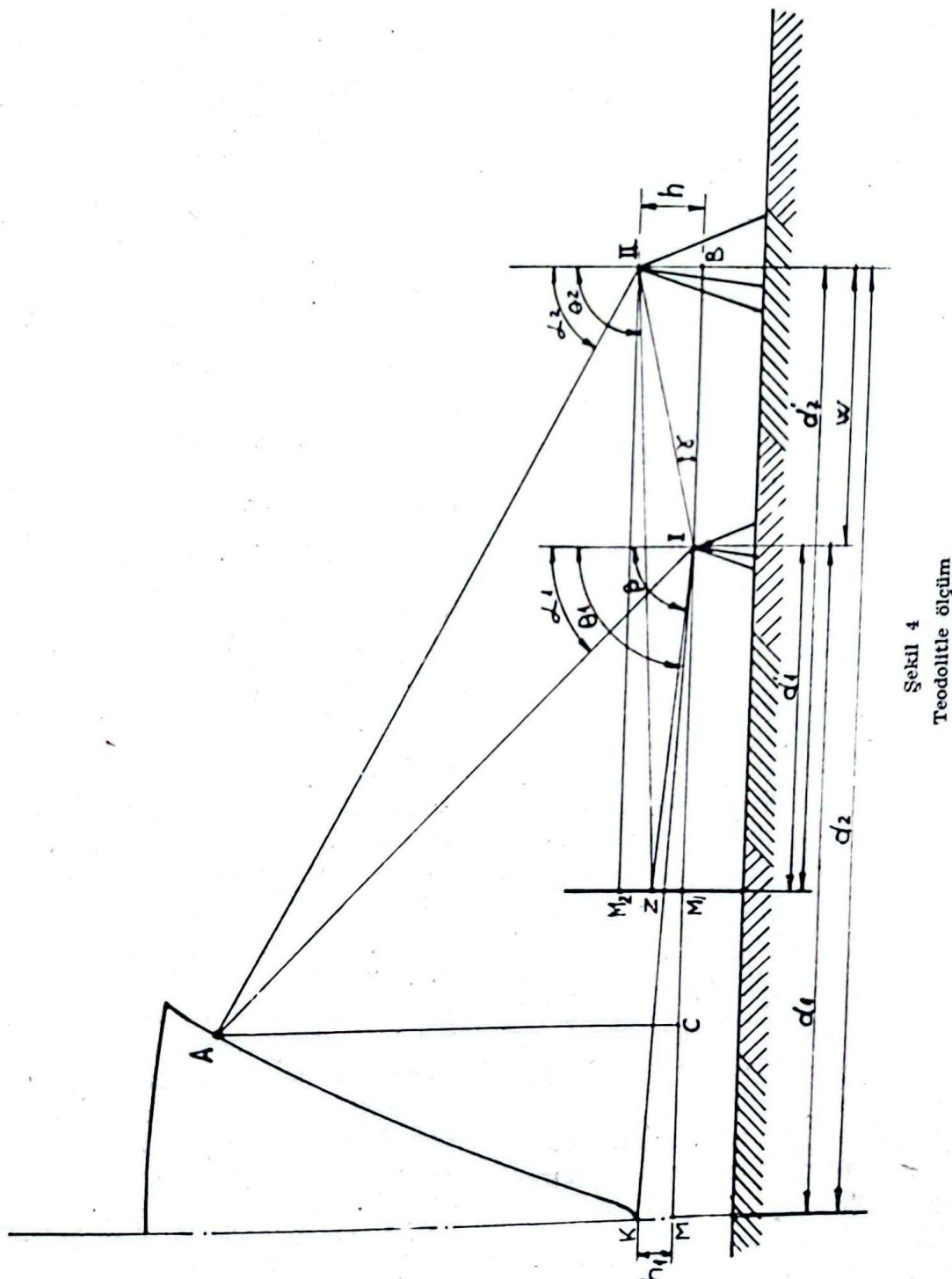
I noktasının K noktasından düşey ve yatay mesafeleri yani h_1 , ve d_1 milimetrik taksimati olan bir metre ve teodolit yardımı ile bulunmaktadır. Bu işlem için K noktasından düşey olarak aşağıya serit metre sarkıtilır. Teodolit dürbünü düşeyle 100 grad yapacak şekilde yani yatay olarak tespit edilir, ve yatay kıl yardımı ile M noktasında metre okunur. Böylece KM uzaklığı hani h_1 bulunmuş olur. Kullandığımız Wild T 16 b tipi teodolitde açılar grad olarak okunduğundan bu ya-

zıda bütün açılar grad cinsindendir. I noktasından K yi gören doğrunun düşeyle yaptığı β açısı da I deki teodolitle K ya bakmakla elde edilir. h_1 ve β bilindiğine göre

$$d_1 = h_1 \tan \beta$$

bağıntısından d_1 bulunur. Böylece I noktasının K dan düşey h_1 ve yatay d_1 mesafelerinin nasıl bulunduğu görüldü.

II noktasının K dan düşey h_2 ve yatay d_2 mesafelerini bulmak için I noktasından olan h ve w mesafelerinin bilinmesi gereklidir.



Sekil 4 Teodolitle ölçüm

si yeterlidir. h ve w uzunluklarının bulunabilmesi için mira ve teodolit kullanılmaktadır. Mira, üzerine kırmızı ve beyaz boyayla ölçüler özel şekilde boyanmış büyük bir tahta metre gibi düşünülebilir. Teodolit dürbünden cisimler ters görüldüğü için mira üzerinde rakkamlar baş aşağı yazılmıştır. Neticede dürbünden bakınca mira üzerindeki rakkamlar doğru olarak görülür. Miranın dik tutulabilmesi için üzerinde su tesviyeleri vardır. Normal miraların taksimatı bir cm olup aradaki değerler gözlemeçinin takdirine bırakılmıştır. Bizim maksadımız için okuma hassasiyetinin bir mm mertebesinde olması gerektiğinden mira üzerine milimetrik taksimatı olan bir çelik serit metreyi tesbit etdik. Anlatıldığı gibi tıtil edilmiş mira KIM düzlemi içinde herhangi bir yere dik olarak yerleştirilir. I noktasında dürbüün yataya ayarlanır ve mira üzerindeki M_1 okunur. Daha sonra tahmini bir Z noktasına bakılarak θ_1 açısı okunur. Aynı işlemler II konumunda da tekrarlanır ve M_2 ile θ_2 tesbit edilir.

$$M_2 - M_1 = h$$

olacağı aşikardır. ZIM_1 üçgeninden

$$d_1' = \overline{ZM_1} \tan \theta_1$$

olur. M_2IZ üçgeninde

$$d_2' = \overline{MZ} \tan (200 - \theta_2) = - \overline{M_2Z} \tan \theta_2$$

olduğundan

$$w = d_2' - d_1'$$

bulunur. Teodolitin konumlarını böylece tesbit etdikten sonra gemi üzerindeki herhangi bir A noktasının K dan düşey ve yatay mesafelerinin nasıl bulanacaklarını görelim.

Gemi üzerindeki A noktasını I konumundaki teodolit α_1 , II konumundaki α_2 teodolit düşey açılarıyla görmüş olsun. I II B dik üçgeninin iki kenarı yani w ve h bilindiğine göre

$$\gamma = \arctan \frac{h}{w}$$

bulunur.

$$I II \text{ hipotenüsü} = \sqrt{h^2 + w^2}$$

A I II üçgeninde

$$I \text{ açısı} = \alpha_1 - (100 - \gamma)$$

$$II \text{ açısı} = (100 - \alpha_2) + \gamma$$

$$A \text{ açısı} = 200 - I \text{ açısı} - II \text{ açısı}$$

ve I II kenarı bilindiğine göre

$$AI \text{ kenarı} = \sin \widehat{II} \frac{\overline{I II}}{\sin \widehat{A}}$$

olarak bulunur.

Şimdi ACI dik üçgenini göz önüne alalım. AI kenarı ve $A = \alpha_1$ açısı bilindiğine göre

$$AC = AI \cos \alpha_1$$

$$CI = AI \sin \alpha_1$$

olur. Bunların ışığında A noktasının gemi düşey ekseniinden mesafesine X dersek

$$X = d_1 - CI$$

kaide hattından yüksekliğine Y dersek

$$Y = \overline{AC} - h_1$$

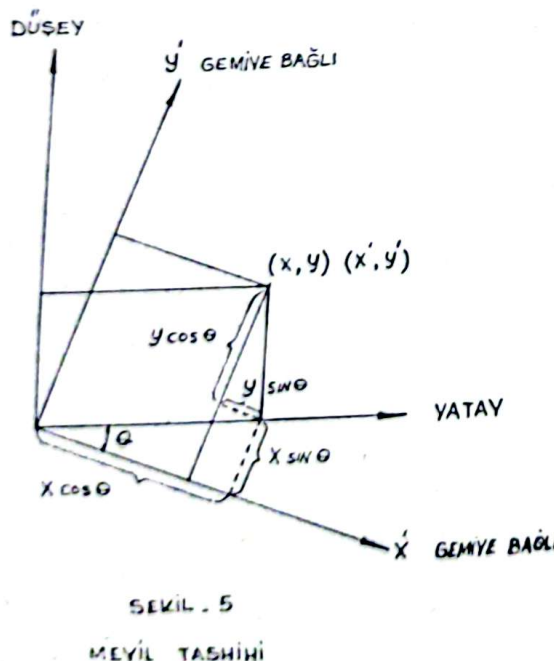
olduğu görülür. Böylece gemi üzerindeki herhangi bir a noktasının absis ve ordinatı bulunmuştur. Aynı işlemi KMI düzlemindeki, hassasiyet için gerekli sayıda arakesit noktaları için de tekrarlarak bu düzlemdeki en kesit eğrisini belleyen noktaların absis ve ordinatlarını elde ederiz.

Uygulama

Yukarda kısaca teorik olarak açıklanan metodun uygulanmasında birtakım hususlara dikkat edilmelidir. Ayrıca uygulama için muhtelif şartları sağlamak

gerekmektedir. Metod optik gözleme bağlı olduğundan gemi muhakkak sudan çıkartılmalıdır. Sudan çıkış geminin hem boyuna hem de enine eksenleri yatay olmalıdır. Ayrıca düşey ve yatayların tesbiti için teodolitin tesviye edilmesi ancak sallanmamış bir zeminde mümkün olduğundan bu metod sadece kuru havuzda uygulanabilir. Geminin boyuna ekseninin yataylığının temini için takaryaların üstü tesviye edilmelidir. Enine eksenin yataylığını temin etmek daha da güçtür. Muhakkak ki gemi oturmadan önce meyil mümkün olduğu kadar azaltılmalıdır.

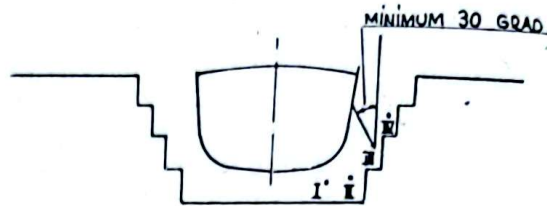
Gösterdiğimiz bütün gayretlere rağmen gemi oturmadan önce iskeleye meyilliken oturduktan sonra sancağa meyilli olduğunu gördük. Ayrıca her gün yaptığıımız meyil ölçmelerinde devamlı artış görüldü. Tabiatıyla bu artış gözle görülemeyecek mertebedeydi. Bulunan koordinatların meyle göre tashihı mümkün olduğundan meylin tamamen giderilmesi şart değildir. Şekil 5 den de görülebileceği gibi, eğer gemi sancağa meyilli ise yapılacak tashih sonunda, gemiye bağlı eksen takımına göre noktanın absisi $x' = x \cos \theta - y \sin \theta$ ordinatı $y' = y \cos \theta +$



6

$\alpha \sin \theta$ olur. Burda α ve y düşey ve yatay eksenlere göre absis ve ordinatdır.

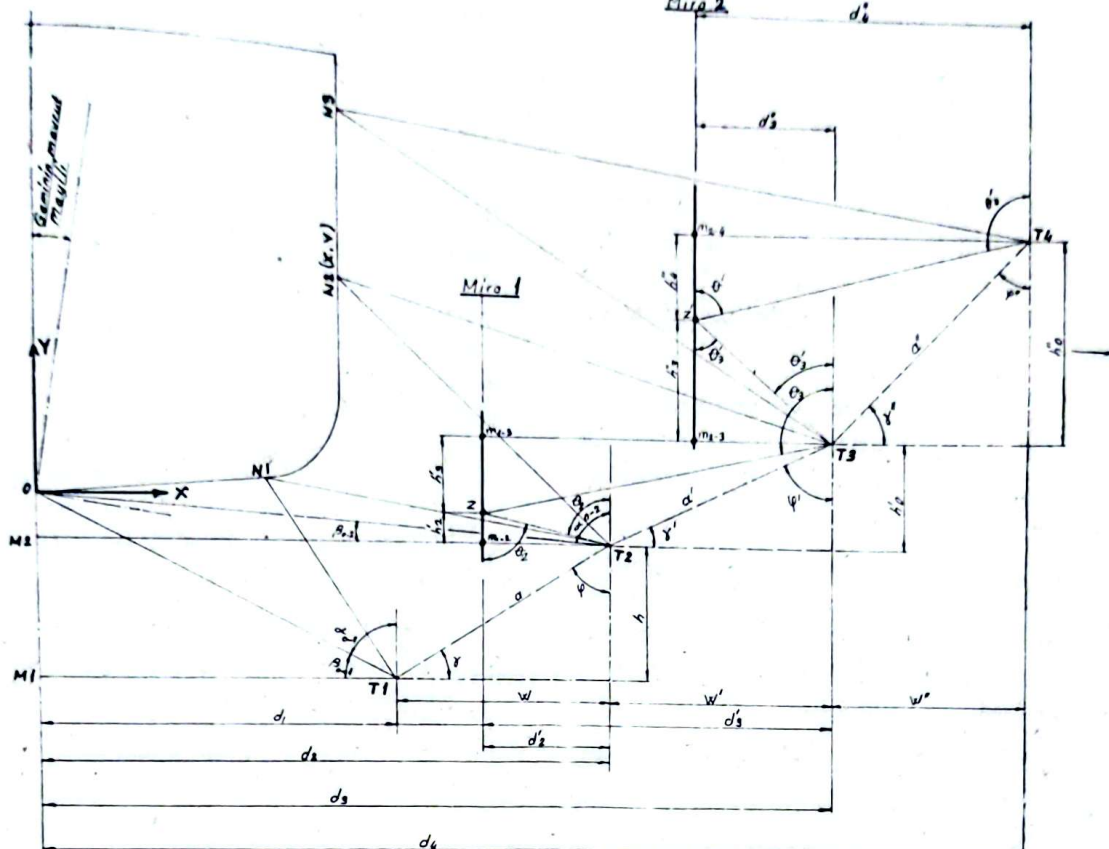
Uygulamada karşılaşılan diğer bir güçlük ise yersizliktir. Şekil 6 dan da görülebileceği gibi gemi havuzdayken yanında kalan mesafeler azdır. Mesafe azlığı



SEKİL . 6

TEODOLİT KONUMLARI

ının mahzuru şekil 4 de iyice görülmektedir. I konumundaki teodolitden güverte kenarı gözlenebilir. Ancak kullandığımız teodolitin yapısı icabı düşeye 30 graddan daha fazla yaklaşmak mümkün olmuyordu. Teodolitin bu kısıtlaması sebebiyle I konumundan ancak kaide hattından iki ila üç metre yukarısı gözlenebiliyordu. Bu sebeple gözlemler esnasında o kesitte güverte kenarının görüldüğü konumdan bir üstüne kadar havuzun basamaklarına turmandık. Dolayısıyle gözlem konumları sayısı arttı ve şekil 7 de görülen sistem ortaya çıktı. İlk bakışta görüür ki en genel halde teodolitin dört konumu vardır T1, T2, T3 ve T4. Bunlardan T1 ve T2 havuz zemininde diğerleri basamaklar üzerindedir. İki mira konumu vardır. 1 konumundaki mira ikinci ve üçüncü konumdaki teodolitleri birbirine bağlar. 2 konumundaki mira ise üçüncü ve dördüncü konumdaki teodolitleri birbirine bağlamaktadır. Baş ve kıkıta yarı genişlikler azaldığından 1, 2, ve 3 konumlardan yapılan gözlemler kafi gelmektedir. Gemi ortasında ise gözlemlerin 2, 3 ve 4 konumlarından yapılması uygun olmaktadır.



Şekil 7
Teodolitle ölçüm sistemi

İşlem Sırası

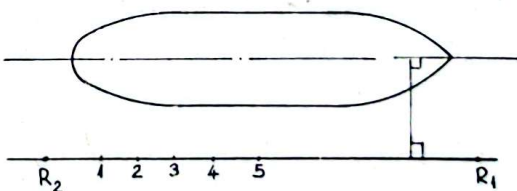
Yukarda ana hatları belirlenen yön-temin uygulanmasında takip edilecek yolu belirlemeğe çalışalım.

Gemi takaryalarla oturuktan sonra yapılacak ilk iş geminin boyuna ekseni- ni havuza markalamaktır. Bu işlem için geminin omurga sacının merkezinden zemine şakulle noktalar izdüşürlüdü.

Belirlenen bu merkez hattına paralel ve bütün gemi boyunca teodolit kurula- bilmesine müsaade eden bir referans hatı tarif edilmeli ve en kesilerin çıkartılaca- gı yerler bu hat üzerinde markalanıp numaralanmalıdır.

Şekil 8 den de görüldüğü gibi mer- kez hattındaki herhangi bir A noktasın-

dan çıkan dik üzerinde bir B noktasına teodolit kurulur. B noktasından A yi gör- dükten sonra 100 grad döndürülüp R_1 sonra da R_2 referans noktaları markala-



Şekil 8
Referans doğrusu

nır. B den R_2 yi ve R_1 i gören doğrultu- larda gemi formuna bağlı olarak kurulu yerlerde sık ve ortalarda seyrekleserek en kesit çıkartılacak noktalar belirlenip numaralanır.

Bundan sonra en kesitlerin çıkarılmasına geçileceğinden her gün gözlemlerden önce meyil ölçülmelidir. Biz meyil baş ve kış bodoslama, ayrıca merkezde bir stisner üzerinden ölçüp ortalamalarını aldık.

Bundan sonraki işlemler her kesit için aynen tekrar edileceklərdir.

Numaralanmış noktalardan biri üze-
rine kurulan teodolitle Şekil 8 de görülen
 R_1 , R_2 referans noktalarından 100 er grad
dönmekle gemi boyuna eksenine dik bakış
yönü tayin edilir.

Teodolit şu anda iki konumundadır
ve eğer 1 konumunda kurulacaksa dik
bakış yönünde bu 1 konumuna tekabül
eden yer noktası markalanmalıdır.

Aynı yönde omurgaya bakarken bir
yardımcının gemi merkez hattı üzerinde
gezdirdiği sıvri uçlu bir cisim ile teodolit
tin düşey kılının çakıştığı noktası O nok-
tası olarak markalanır.

2 konumunda teodolitden K yi gören
doğrunun düşeyle yaptığı açı α_{21} okunur
ve Şekil 9 da da görülen Tablo 1 in ikin-
ci sütunundaki yerine yazılır.

Teodolit düşeyle 100 grad yapacak
şekilde ayarlanıp O dan aşağıya sarkıt-
lan çelik metre okunup bulunan OM₂ Tab-
lo 1 deki yerine yazılır.

Omurgadan yukarı doğru, gözlenen
en kesitin karakterine göre, kafi sayıda-
ki noktası için aşağıdaki işlemler tekrarla-
nır. Her noktanın numarası ve teodolit-
den noktası gören doğrunun düşeyle yap-
lığı vertikal açı Tablo 1 e yazılır.

Mira birinci konumuna yerleştirilip
teodolit yataya ayarlıken okunan değer
 m_{112} , Z kerteriz noktasını gören vertikal
açı θ_2 , z kodu tablodaki yerlerine yazılır
ve mira yerinden oynatılmadan, teodolit
200 grad döndürülüp daha sonra kurula-
cağı yerler markalanır.

Üçüncü konuma kurulan teodolitle
önce birinci konumdakı miraya bakılır ve

teodolit yatayındaki kod m_{13} ve Z yi gö-
ren vertikal açı θ_3 okunarak Tablo 1 e iş-
lenir. Miranın birinci konumda işi bitmiş-
tir, olduğu yerden alınarak bir kenara ko-
nabilir.

Üçüncü konumdaki teodolitle en ke-
sit üzerinde daha önce markalanmış olan
noktalar gözlenir ve bulunan değerler
tablo 1 in üçüncü sütununa işlenir. Gü-
verteyi göründeye kadar yeni noktalar
markalanır ve bunların da değerleri Tab-
lo 1 e işlenir.

Mira ikinci konuma konur ve m_{23} , Z'
ve θ_3 okunup bulunan değerler Tablo 1 e
işlendikten sonra yerinden oynatılmaz.

Teodolit kaldırılıp dördüncü tekrar
kurulduktan sonra mira üzerinden m_{24} ,
 θ_4 okunup tablo 1 e işlenir. Miranın ikin-
ci konumdaki işi bitmiştir.

Mira kaldırıldıktan sonra teodolitle
daha önce markalanmış noktalar gözlenir
ve bulunan değerler Tablo 1 e işlenir.

Bu kesit için havuzda yapılacak işler
bitmiştir. Diğer kesitler için de aynı iş-
lemeler tekrarlanır. Şekil 8 deki R_2R_1 doğ-
rusu üzerinden kesitler arası mesafelerin
de ölçülmesiyle havuzda yapılacak işler
tamamlanmış olur.

Bundan sonra yapılacak işleri hesap
ve çizim olarak ikiye ayırmak mümkün-
dür.

Hesap işleri Şekil 10, 11, 12, 13, 14,
15, 16 görülen yedi tablo yardımıyla ta-
mamlanır. Hesap adımlarını kısaltacak
birtakım trigonometrik bağıntılardan
faydalananın mümkün ise de, kafi dere-
cede karışık olan konuyu daha da karış-
tırmamak için zikredilmemiştir. Hesap-
lar tablodaki adımlardan yararlanılarak
hızlanacak programla bilgisayar yar-
dımiyle kolayca neticeleştirilebilir.

Şekil 16 daki X', Y' ile verilmiş nok-
taların plottedilip birleştirilmesiyle en ke-
sit eğrisi elde edilmiş olur. Bu eğrinin sü-
rekli olabilmesi için gözlenen noktalar
gemideki hasarlı bölgelerden seçilmeme-

lidir. Baş ve küçük bodoslama formu da en kesit gibi çıkartılabilir.

Teker teker elde edilmiş en kesitlerin birleştirilmesiyle endaze çizimi gerçekleştirilir.

Netice

Boytuların nispeten büyülüklüğü sebebiyle endazesinin çıkartılmasında daha önce kullanılan yöntemlerin, hem hassasiyet hem de uzun zaman istemeleri sebebiyle, kifayetsiz kaldığı bu hal için düşünülüp geliştirilen teodolit yardımcı ile endaze çıkartılma metodunu yukarıda açıklamaya çalıştık. Bu türden yaptığıımız ilk iş, ve karşılaşılan birtakım güçlükleri halletmek için arada duraklamalar olmasına rağmen havuzda 20 kesit için yapılan gözlemler başkan nezaretinde çalışan üç kişilik bir ekiple beş iş gününde

tamamlandı. Hesaplar kare kökle trigonometrik fonksiyon tuşları ve hafızası olan bir elektronik hesap makinesi yardımı ile bir kişi tarafından altı iş gününde tamamlandı. Henüz tamamen geliştirilmemiş olmasına rağmen uygulanan yöntemin kısa sürede yeterli hassasiyetle netice verdiği görüldü.

Yukardaki bilgiler ışığında denebilir ki, bundan sonra karşılaşılacak benzer problemlerin çözümü bu yöntemin geliştirilerek uygulanmasıyla daha kolay olacaktır.

Referans :

«Teodolit ve Kullanılması» İTÜ. Kütüphanesi
No. 926

Yazan: O. Trutman, Tercüme edenler M. G. Özgen ve Ö. Cenan

Kesit:

HAVUZDA YAPILAN ÖLÇÜMLER | Sayfa:

Sayfa:

Kesit:	HAVUZDA YAPILAN ÖLÇÜMLER	Sayfa:
Teodolit 1	Teodolit 2	teodolit 3 teodolit 4
<p>(1) - $ON_1 = \dots \dots \dots \text{mm.}$</p> <p>(2) - $\alpha_o = \dots \dots \dots \text{grad}$ Omurgayı gören vertikal açı.</p>	<p>(6) - $OM_2 = \dots \dots \dots \text{mm.}$</p> <p>(7) - $\alpha_{0,2} = \dots \dots \dots \text{grad}$ - 1 no.lu mira \mathfrak{Q} na dik düzlem içinde ve havuz zemininde bir M1 noktasına konup burası mar- kalanacak.</p> <p>(20) - $m_{1,2} = \dots \dots \dots \text{mm.}$</p> <p>(23) - 1 no.lu mira üzerindeki ker- teriz noktasının kodu.</p> <p>$Z = \dots \dots \dots \text{mm.}$</p> <p>(25) - $Z' \text{ yi gören vertikal açı}$ $\theta_2 = \dots \dots \dots \text{grad}$</p> <p>* Teodolitler sökülmeden daha sonra kurulacakları yerler tespit edilmelidir *</p>	<p>(21) - 1 no.lu miradan 3.no.lu teod. yatağında okunan kod. $m_{1,3} = \dots \dots \dots \text{mm.}$</p> <p>(22) - 1 no.lu mira üzerindeki Z yi gören vertikal açı.</p> <p>$\theta_3 = \dots \dots \dots \text{grad}$</p> <p>(24) - 2 no.lu mira üzerindeki Z' gören vertikal açı.</p> <p>$\theta_4 = \dots \dots \dots \text{grad}$</p> <p>(41) - 2 no.lu miradan 4.no.lu teod. yatağında okunan kod. $m_{2,4} = \dots \dots \dots \text{mm.}$</p> <p>(42) - 2 no.lu mira üzerindeki Z' gören vertikal açı.</p> <p>$\theta'_4 = \dots \dots \dots \text{grad}$</p> <p>(43) - 2 no.lu mira \mathfrak{Q} na dik düzlem içinde bir M2 noktasına konup burası markalanacak.</p> <p>(44) - 2 no.lu miradan 3.no.lu teod. yatağında okunan kod. $m_{2,3} = \dots \dots \dots \text{mm.}$</p> <p>(45) - 2 no.lu mira üzerindeki kertenice noktasının kodu. $Z' = \dots \dots \dots \text{mm.}$</p> <p>(46) - Z' yi gören vertikal açı $\theta'_3 = \dots \dots \dots \text{grad}$</p>
Nokta	(10) Vertikal açı Nokta	(71) Vertikal açı Nokta (85) Vertikal açı Nokta (99) Vertikal açı
Bütün açılar grad. bütün uzunluklar mm.dir. Ölgen!		Tarih:

Bütün açılar grad, bütün uzunlıklar mm.dir. | Ölgen:

Tarih:

Kesit:	TEODOLİTLERLE ÖLÇÜM ESASLARI	Sayfa:
(1)	OM_1 : 1. teodolitin omurgaya düşey mesafesi (Serit metre ve teodolit yatayı ile ölçülür.)	
(2)	$\alpha_{0,1}$: 1. teodolitin omurgayı gören vertikal açısı	
(3)	$\beta_{0,1} = 100 - \alpha_{0,1} = 100 - (2)$	
(4)	$\tan \beta_{0,1} = \tan (3)$	
(5)	$d_1 = (1)/4$: 1. teodolitin ℓ na yatay mesafesi	
(6)	OM_2 : 2. teodolitin omurgaya düşey mesafesi (Serit metre ve teodolit yatayı ile ölçülür.)	
(7)	$\alpha_{0,2}$: 2. teodolitin omurgayı gören vertikal açısı	
(8)	$\beta_{0,2} = 100 - \alpha_{0,2} = 100 - (7)$	
(9)	$\tan \beta_{0,2} = \tan (8)$	
(10)	$d_2 = (6)/9$: 2. teodolitin ℓ na yatay mesafesi	
(11)	w : 1 ve 2 no.lu teodolitlerin ℓ na yatay mesafeleri farkı = (10) - (5)	
(12)	$w^2 = (11)^2$	
(13)	h : 1 ve 2 no.lu teodolitlerin kod farkı = (1) - (6)	
(14)	$h^2 = (13)^2$	
(15)	$a^2 = (12) + (14)$	
(16)	$a = \sqrt{(15)}$ (1 ve 2 no.lu teodolitlerle çevrilen üçgenin kenarı.)	
(17)	$\tan \gamma = (13)/(11)$	
(18)	$\gamma = \dots \text{ grad}$	
(19)	$\varphi = 100 - \gamma = 100 - (18)$	
(20)	$m_{1,2}$: 1 no.lu miradan 2 no.lu teod. yatayında okunan kod	
(21)	$m_{1,3}$: 1 no.lu miradan 3 no.lu teod. yatayında okunan kod	
(22)	h'_1 : 2 ve 3 no.lu teod. lerin kod farkı = (21) - (20)	
(23)	z : 1 no.lu mira üzerinde alınan karteriz noktasının kod'u	
(24)	h'_2 : z noktasının 2 no.lu teodolitte kod farkı = (23) - (20)	
(25)	θ_2 : 2 no.lu teod. den z'yi gören vertikal açı (> 100 ise $200 - \theta_2$ yazılacak)	
Bütün açılar grad, bütün uzunluklar mm.dir.		Hazırlayan: Tarih:

Kesil:

TEODOLİTLERLE ÖLÇÜM
ESASLARI

Sayfa:

(26)	$\tan \theta_2 = \tan 25$
(27)	$d_2' : 2 \text{ no.lu teod.in } 1 \text{ no.lu miraya yatay mesafesi} = 24 \times 26$
(28)	$h_3' : 1 \text{ no.lu mira üzerindeki } z \text{ noktasının } 3 \text{ no.lu teod.den kod farkı} = 21 - 23$
(29)	$\theta_3 : 3 \text{ no.lu teod.den } 1 \text{ no.lu mira üzerindeki } z \text{ noktasını gören}$ $\text{vertikal açı } (> 100 \text{ ise } 200 - \theta_3 \text{ yazılacak})$
(30)	$\tan \theta_3 = \tan 29$
(31)	$d_3' : 3 \text{ no.lu teod.in } 1 \text{ no.lu miraya yatay mesafesi} = 28 \times 30$
(32)	$w' : 2 \text{ ve } 3 \text{ no.lu teod.ler arası yatay mesafe} = 31 - 27$
(33)	$w'^2 = 32^2$
(34)	$h_0'^2 = 22^2$
(35)	$a'^2 = 33 + 34$
(36)	$a' = \sqrt{35} \quad (2 \text{ ve } 3 \text{ no.lu teodolitlerle çevrilen üçgenin kenarı})$
(37)	$\tan \gamma' = 22 / 32$
(38)	$\gamma' = \dots \text{ grad}$
(39)	$\varphi' = 100 - \gamma' = 100 - 38$
(40)	$m_{2,3} : 2 \text{ no.lu miradan } 3 \text{ teodolit yatayında okunan kod}$
(41)	$m_{2,4} : 2 \text{ no.lu miradan } 4 \text{ teodolit yatayında okunan kod}$
(42)	$h_0'' : 3 \text{ ve } 4 \text{ no.lu teodolitlerin kod farkı} = 41 - 40$
(43)	$z' : 2 \text{ no.lu mira üzerindeki karteriz noktasının kod'u}$
(44)	$h_3'' : z' \text{ noktasının } 3 \text{ no.lu teod.le kod farkı} = 43 - 40$
(45)	$\theta_3' : 3 \text{ no.lu teod.den } z' \text{nü gören vertikal açı } (> 100 \text{ ise } 200 - \theta_3' \text{ yazılacak})$
(46)	$\tan \theta_3' = \tan 45$
(47)	$d_3'' : 3 \text{ no.lu teod.in } 2 \text{ no.lu miraya yatay mesafesi} = 44 \times 46$
(48)	$h_4'' : 2 \text{ no.lu miradaki } z' \text{ noktasının } 4 \text{ no.lu teod.den kod farkı} = 41 - 43$
(49)	$\theta_4' : 4 \text{ no.lu teod.den } 2 \text{ no.lu mira üzerindeki } z' \text{ noktasını gören}$ $\text{vertikal açı } (> 100 \text{ ise } 200 - \theta_4' \text{ yazılacak})$
(50)	$\tan \theta_4' = \tan 49$

Bütün açılar grad, bütün uzunluklar mm. dir.

Hazırlıyan:

Tarihi:

Kesit:

TEODOLİTLERLE ÖLGÜM
ESASLARI

Sayfa:

(51) $d_4'' = 4 \text{ nolu teodin } 2 \text{ nolu miraya yatay mesafesi} = (48) \times (50)$

(52) $w'' = 3 \text{ ve } 4 \text{ nolu teod.ler arası yatay mesafe} = (51) - (47)$

(53) $w''^2 = (52)^2$

(54) $b_0''^2 = (42)^2$

(55) $a''^2 = (53) + (54)$

(56) $a'' = \sqrt{(55)} \quad (3 \text{ ve } 4 \text{ nolu teod.lerle çevrilen üçgenin kenarı})$

(57) $\tan \gamma'' = (42) / (52)$

(58) $\gamma'' = \dots \text{ grad}$

(59) $\varphi'' = 100 - \gamma'' = 100 - (58)$

(60) $d_3 = (10) + (32)$

(61) $d_4 = (60) + (52)$

(62) $OM_3 = (22) - (6)$

(63) $OM_4 = (62) + (42)$

64 ~ 69 no.lar kullanılmamıştır.

Bütün açılar grad, bütün uzunluklar mm.dir.

Hazırlayan:

Tarih:

Kesit:

1 ve 2 numaralı teodolitlerle
NOKTA HESABI

Sayfa:

NOKTA NUMARASI	1	2	3	4	5
Vertikal açı 1. teodolit					
Vertikal açı 2. teodolit					
(70) + (19)					
200 - (71) - (19)					
200 - (73) - (72)					
Sinus (73)					
Sinus (74)					
(75) / (76)					
c = (77) x (76)					
Sinus (70)					
(78) x (79)					
Cosinus (70)					
(78) x (81)					
X = (5) - (80)					
Y = (82) - (1)					
(19) =	(16) =				
Bütün açılar grad, bütün uzunluklar mm'dir.	Hazırlayan:	Tarih:			

Kesit:

2 ve 3 numarali teodolitlerle
NOKTA HESABI

Sayfa:

NOKTA NUMARASI	
(71)	Vertikal açı 2.teodolit
(85)	Vertikal açı 3.teodolit
(86)	(71) + (39)
(87)	200 - (85) - (39)
(88)	200 - (87) - (86)
(89)	Sinüs (87)
(90)	Sinüs (88)
(91)	(89) / (90)
(92)	$C = (36) \times (91)$
(93)	$\sinus = (71)$
(94)	(92) x (93)
(95)	cosinus (71)
(96)	(92) x (95)
(97)	$X = (10) - (94)$
(98)	$Y = (96) - (6)$
(39) =	(36) =
(10) =	(6) =
Bütün açılar grad, bütün uzunluklar mm. dir.	Hazırlayan: Tarih:

Şekil 14

TABLO 6

15

NOKTA NUMARASI

(85)	Vertikal açı 3. teodolit
(99)	Vertikal açı 4. teodolit
(100)	(85) + (59)
(101)	200 - (99) - (59)
(102)	200 - (101) - (100)
(103)	sinus (101)
(104)	sinus (102)
(105)	(103) / (104)
(106)	C = (56) x (105)
(107)	sinus (85) Sayet (85) > 100 ise 200 - (85) in sinusunu al
(108)	(106) x (107)
(109)	cosinus (85) Sayet (85) > 100 ise 200 - (85) in cosinusunu al
(110)	(106) x (109)
(111)	X = (60) - (108)
(112)	Y = (62) + (110)
(59)	(56) =

Kesit:

3 ve 4 numarali teodolitterle.
NOKTA HESABI

Sayfa:

Tarih:

(62) =

(60) =

(56) =

Bütün açılar grad. bütün uzunluklar mm. dir.

Hazırlayan:

Tarih:

Sekil 15

TABLO 7

Kesit:		$\theta = 0.8921$ grad sancaya meyil taşıhi yapılmış NOKTA KOORDİNALARI										Sayfa:							
NOKTA NUMARASI	X	Y	$X \cos \theta$ <input type="radio"/> I <input type="radio"/> II <input checked="" type="radio"/> III <input type="radio"/> IV	$Y \cos \theta$ <input type="radio"/> I <input type="radio"/> II <input checked="" type="radio"/> III <input type="radio"/> IV	$X \sin \theta$ <input type="radio"/> I <input type="radio"/> II <input checked="" type="radio"/> III <input type="radio"/> IV	$Y \sin \theta$ <input type="radio"/> I <input type="radio"/> II <input checked="" type="radio"/> III <input type="radio"/> IV	X' <input type="radio"/> I <input type="radio"/> II <input checked="" type="radio"/> III <input type="radio"/> IV	Y' $=$ $=$ $=$	$(I) - (IV)$ $=$ $=$ $=$	NOKTA NUMARASI	X	Y	$X \cos \theta$ <input type="radio"/> I <input type="radio"/> II <input checked="" type="radio"/> III <input type="radio"/> IV	$Y \cos \theta$ <input type="radio"/> I <input type="radio"/> II <input checked="" type="radio"/> III <input type="radio"/> IV	$X \sin \theta$ <input type="radio"/> I <input type="radio"/> II <input checked="" type="radio"/> III <input type="radio"/> IV	$Y \sin \theta$ <input type="radio"/> I <input type="radio"/> II <input checked="" type="radio"/> III <input type="radio"/> IV	X' $=$ $=$ $=$	$(I) - (IV)$ $=$ $=$ $=$	Y' $=$ $=$ $=$
Butün açılar grad, bütün uzunlıklar mm. dir		Hazırlayan:				Tarih:													

ROLL ON - ROLL OF TİPİ GEMİLERDE MOTORLU ARAÇ AMBARLARININ HAVALANDIRILMASI

Çevirenler: Mak. Müh. Nejat Uner
Mak. Müh. Ercüment Dumlù

Gemi ambarlarına havalandırma sistemleri yapılmasındaki asıl amaç genellikle ambarlarda bulunan yükü elverişsiz sıcaklık ve rutubetten korumaktır. «Roll on - Roll off» diye adlandırılan gemi taşımacılığı prensibine göre araçların taşınması sırasında şartlar ise tamamen farklıdır. Bu sistemle yükün havalandırılması ikinci derecede bir rol oynamaktadır. Asıl önemli olan sorun araçların çalıştırılarak yüklenme ve boşaltılmaları sırasında ambarlarda bulunan insanların ihtiyacı olan havayı temin etmektir. Başka bir deyişle, ambarları havalandırmada kullanılacak hava, araç motorlarının çirkardığı egzost gazlarını dışarı atacak ve böylece ambar havasındaki insan sağlığı için tehlikeli maddelerin konsantrasyonu kabul edilmiş bulunan düzeyin üstüne çıkmayacaktır. Asıl büyük ihtiyaç havanın miktarı ve onun ambar içindeki dağılımı olmaktadır.

Yukarıda açıklanan prensibe göre motorlu araç taşıyan gemilerde, rihtımla gemi arasında ve içindeki muhtelif güverteler arasında bir veya birkaç geçiş boşlukları bulunmaktadır. Bu gemilerde ambarlar genellikle 100 - 150 metre boyunda ve yükseklik genellikle küçük - 2 metre civarında olmaktadır.

Araçlar, görevli sürücüler tarafından rihtımdan alınarak gemideki yerlerine götürülür ve sürücüler burada arabalarını terkederler. Sürücüler buradan yeni araçlar olmak üzere tek tek veya gruplar halinde tekrar rihtıma dönerler. Grup olarak dönmeleri halinde özel bir araç binaları sahile taşırlar. Bu tür araç taşımının özelliği, araçların birbirinden sadece birkaç desimetre mesafeyle yerleştirilmeleridir. Zaman çok iyi kullanılmakta ve araçların motor ve fren sesleri çok yüksek

bir seviyede bulunmaktadır. Araçların far ışığı altında güvertede koşusan insanların gölgeleri, geceleyin şehir içinde çok sık trafiği olan bir cadde izlerimini de vermektedir.

HAVALANDIRMA VE GAZ KONSANTRASYONU :

Havalandırma tesisi, mümkün olduğu kadar fazla miktarda dış havayı ambarlara basabilmeli ve böylece egzost gazı konsantrasyonu müsaade edilen maksimum düzeyin altında tutulabilmelidir.

Havalandırılan bir mahaldeki egzost gazı konsantrasyonu aşağıdaki formül vasıtasiyla ifade edilebilir.

$$k = \frac{x}{Q} \left(1 - e^{-\frac{Q \cdot t}{V}}\right)$$

Bu formülde :

k = Konsantrasyon.

x = Üretilen gaz miktarı. [m³/h]

Q = Havalandırma. [m³/h]

V = Mahal hacmi. [m³]

t = Zaman. [h]

Not :

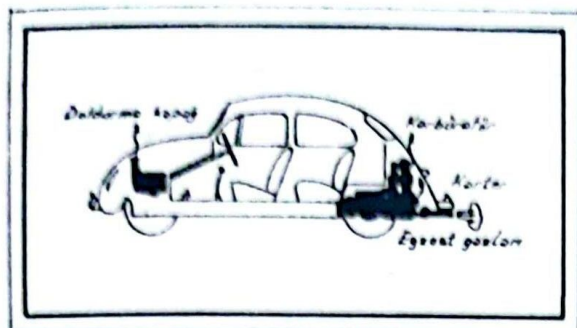
Formülde ambar havasının komple bir karışım halinde ve aynı sıcaklıkta olduğu farzedilecektir.

Bir motorlu araç aşağıda belirtilen yerlerden ortama gaz yayar :

Egzost borusundan

- Yanma gazları
Karterden
- Yanma gazları ve hidrokarbonlar

**Yakit doldurma kapağından
— Hidrokarbonlar**
Karbüratörden — Hidrokarbonlar.



Egzost gazları, miktarları fazla olduğu ve zehirli maddeler kapsadığından en büyük ve önemli problemi oluştururlar.

Egzost gazları aşağıdaki maddeleri kapsarlar :

Araçların çalıştırılma durumuya ilgili bazı detaylar bilindiği takdirde ambarlar içinde araçlar tarafından üretilen egzost gazlarının toplam miktarı da kolayca hesaplanabilmekte fakat bu da tabiatıyla olanaksız olduğundan, bazı basitleştirmelerin yapılması zorunlu olmaktadır. Örneğin, araçların kullandığı yakıt tahmin edilerek buradan çıkışacak egzost gazı miktarı yanma kanunlarına göre aşağıda belirtilen şekilde hesaplanabilir:

Benzinin terkibinde %85 C, %14,9 H₂ ve %0,05 S₂

Mazotun terkibinde ise %86 C, %13,5 H₂ ve %0,5 S₂ vardır.

Yanma için teorik hava miktarı aşağıdaki formülle göre hesaplanır:

$$L_s = \frac{22,4}{0,21} \left(\frac{C}{12} + \frac{H_2}{4} + \frac{S_2}{32} - \frac{O_2}{32} \right)$$

[Nm³/kg yakıt]

Tablo : 1

Gaz	Konsantrasyon - Limit Değerler		
	Benzinli Motor	Dizel Motoru	
Karbon Monoksit	CO	% 1 - 10	% 0,1 - 0,25
	CO ₂	% 8 - 15	% 2 - 10
Azot Oksit	NO _x	% 0,1 - 0,5	% 0,002 - 0,1
Hidrokarbonlar	C _n H _m	% 0,1 - 0,2	
Kükürt dioksit	SO ₂	% 0,003 - 0,004	% 0,02 - 0,04

Çıkan gazların konsantrasyonu, motorun yüklenmesinin, devir sayısının, sıcaklığın, hava fazlalık katsayısının, motorun durumu, yakıtın ve sürücünün kalitesine bağlı olarak değişim gösterir.

Gemide, ambarların içinde çalıştırma esnasındaki gerçek değerler, tablodaki değerlerden, normal çalışma şartları ile ilgili olan alt limit değerlerden daha çok üst limit değerlere yakın olmaktadır.

Yanma sonucu çıkan gazların miktarı, aşağıdaki bağıntılardan tayin edilebilir :

Karbondioksid

$$CO_2 = 1.867 \cdot C \text{ (m}^3 \text{ yakıt/kg.)}$$

Su	$H_2O = 11,2 \cdot H_2$
Kükürt dioksit	$SO_2 = 0,7 \cdot S_2$
Oksijen	$O_2 = 0,21 (\lambda - 1) \cdot L_s$
Azot	$N_2 = 0,79 \cdot \lambda \cdot L_s$

Burada $\lambda = \frac{\text{Teorik hava miktarı}}{\text{Gerçek hava miktarı}}$ dır.

Eğer yakıt terkibi aşağıdaki şekilde kabul edilirse:

% 85,5 Karbon, yani $C = 0,855$

% 14,5 Hidrojen, » $H_2 = 0,145$

% 0,5 Kükürt, » $S_2 = 0,005$ demektir.

Bu değerler egzost gazlarının miktarını bulmak için yukarıda belirtilmiş formülde yerlerine konursa:

$$Q_e = 0,806 + 11,52 \cdot \lambda \text{ (m}^3/\text{kg.yakıt)}$$

toplam egzost gazı miktarı bulunmuş olur.

Egzost gazı miktarlarının hesaplanması, gerçek pratik değerlere karşıt gelen λ değerinin tayin edilmesi gereklidir. (Benzinli ve dizel motorları için limit değerler diyagram üzerinde belirtilmiştir.)

ÖRNEK I :

İçinde hepsinin de motoru çalışmaktadır ve sürekli yükte 50 HP veren beş

adet araç bulunan bir ambardaki egzost gazı miktarını hesaplayın.

Kabuller :

— Motorlar soğuk ($\lambda \sim 0,8$)

— Ortalama hız 20 km/h.

— Düşük vitesle gidiliyor (Şartlar şehir içinde dolaşım haline eşit)

— Yakıt harcamı

$$15 \lambda / 100 \text{ km} = 3 \text{ l/h} = 2,3 \text{ kg/h.}$$

$\lambda = 0,8$ için Diyagram 1'den

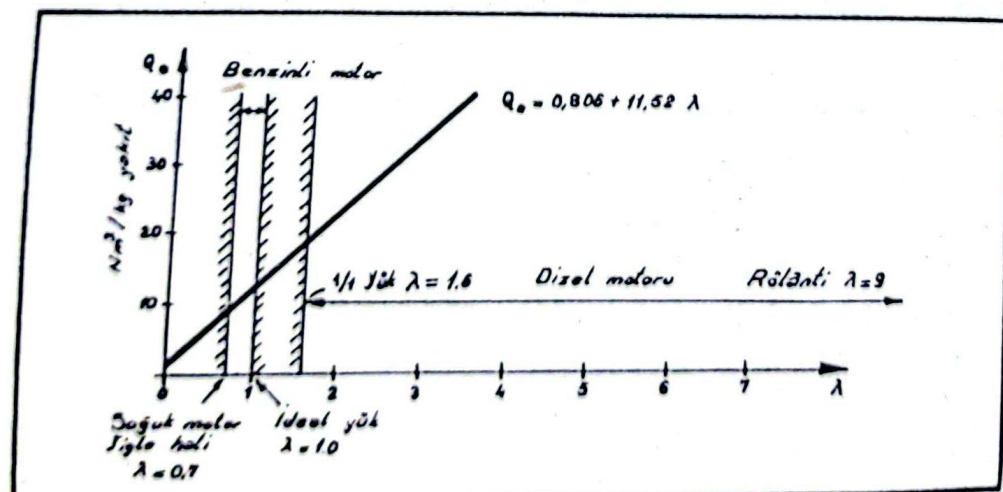
$$Q_e = 10,3 \text{ Nm}^3/\text{kg.yakıt}$$

ve toplam olarak

$$\Sigma Q_e = 5 \cdot 10,3 \cdot 2,3 = 120 \text{ (m}^3/\text{h)}$$

Yukarıda belirtildiği gibi havalandırma için gerekli hava miktarı, havalandırılan mahaldeki gazların müsaade edilebilen konsantrasyonuna bağlıdır.

Çevre sağlığı kurumlarında kabul edilen miktarlar aşağıda tablo 2 de gösterilmiştir :



Tablo 2 :

	Konsantrasyon ppm (part per million)			
	Karbon Monoksit	Azot Oksit	Hidro- karbonlar	Saatte Hava değ. Sayısı
Sjöfartsverket, İsveç	60	5	1500*	Min. 20
Sjöfartsdirektoratet, Norveç	60	5	—	20
İngiltere Ticaret ve Sanayi Dairesi	Mümkün olduğu kadar az	Mümkün olduğu kadar az	—	Min. 10 fakat uy- gulamada daha yüksek
Amerika Sahil Muhafaza Teşkilatı	50	3	—	Duruma göre
Almanya Gemi Adamları Teşkilatı		5	—	Min. 20

* Patlayıcı gaz karışımı teşkiline karşı 20 kat emniyet. Belirli hallerde ilgili kurumlar saatte belirli bir minimum hava değişimi isterler. Örneğin 6 - 10 değişim/ saat gibi.

$$e^{-\frac{Q \cdot t}{V}} = 0$$

Bu durumda denklem aşağıdaki hale indirgenmiş olur :

$$k = \frac{\dot{x}}{Q} \text{ veya } Q = \frac{\dot{x}}{k}$$

Karbon monoksit (CO) için :

$$Q = \frac{0,08 \cdot 120}{50 \cdot 10^{-6}} = 192\,000 \text{ (m}^3/\text{h)}$$

Azot oksit (NO_x) için :

$$Q = \frac{0,004 \cdot 120}{5 \cdot 10^{-6}} = 96\,000 \text{ (m}^3/\text{h)}$$

CO konsantrasyonunu 50 ppm'in altında tutacak gerekli hava miktarı bu nedenle NO_x konsantrasyonunun müsaade edilen değerin altında tutmak için gerekli mikardan daha büyütür. Genel bir kural olarak benzin motorlarının CO için, dizel motorlarının NO_x için havalandırılması tavsiye edilmektedir.

ÖRNEK 2 :

Örnek 1'de açıklanmış durum ve aşağıdaki durumda havalandırma için gerekli hava miktarını hesaplayınız.

Konsantrasyon : CO : — 50 ppm

NO_x : — 5 ppm

Egzost gazı miktarı = 120 m³/h

Konsantrasyonlar için tablo 1'den:

CO = % 1 - 10; (Elverişsiz çalışma şartlarında % 8 seçilir.)

NO_x = % 1 - 0,5; % 0,4 seçildi (Elverişsiz çalışma şartları)

$$k = \frac{\dot{x}}{Q} (1 - e^{-\frac{Q \cdot t}{V}})$$

Sürekli çalışma hali farzedilirse
(t = ∞)

Uygun havalandırma dağıtımının sağlanması :

İlgili sağlık kurumlarında kesin olarak belirlenmiş veya önceki formüllere göre hesaplanmış olan gerekli hava miktarları oldukça yüksek düzeylerde olup, çoğu zaman da modern bir konteyner gemisinde 1 milyon m^3/h mertebesi civarında bulunmaktadır.

Bu ise geminin çelik konstrüksiyonuna tesir eden ve çok yer kaplayan kanal sistemlerini gerektirir.

Muhtelif mahallere dağıtılan havanın akımı, egzost gazlarını hafifletmekte ve sürükleşip götürmektedir.

Şimdiye dek kullanılmış olan sabit havalandırma boşluklarının, ambarlar yüklenikten sonra tüm ambarı saracak bir havalandırma yapma imkânı yoktu. Böyle bir dizayn ile, başka bir yerde daha küçük fan boyutları verebilecek hava miktarı kullanmak olanaksızdır. Sabit havalandırma tesislerinin uygulanmasının avantajı, kullanmasının kolay olması ve uygulaması karışık olan damper ve kapı aranjmanlarının bertaraf edilmiş olmasıdır. Dezavantaj ise, bazı hallerde havalandırılmasına gerek olmayan mahallerin de havalandırılmak zorunda kalınmasıdır.

Aşağıda, ambar içindeki havalandırma prensip olarak kullanılan üç ayrı sistem görülmektedir.

Havalandırılacak ambarların boyutları çok büyktür ve içindeki araçların, aralarından geçen hava akımına etkisi hakkında gerekli olan herşeyi bilmek çok zordur. Her zaman için havalandırılmamış

ölü bölgelerin bulunması riski vardır. Muhtelif havalandırma merkezlerinin arasındaki uzaklıkların artması, bu riski de artırmaktadır. Aynı şekilde köşelerde ve kiriş yerlerinin altında havalandırılamamış bölgelerin kalması riski de bulunmaktadır.

Çok yüksek konsantrasyondaki egzost gazlarının insan sağlığına zararı dikte alınarak, ölü bölgeleri önlerecek maksimum havalandırma miktarı alınmalıdır.

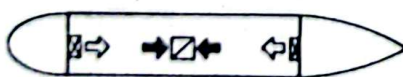
Bu durumda, çoğu kere ekonomik olmayan ve pratik olarak uygulanabilen fakat ikinci derecede öneme sahip bazı eksiklikleri olan sistemler arasında seçim yapılmalıdır. Sonuçta bu iki çözümden birine göre olacaktır.

Şimdiye dek bu cins madallerde havanın dağılımı ile ilgili kesinleşmiş kaideler olmadığından, muhtelif havalandırma şekillerinde hava akımlarını görebilmek için bir model test ünitesi yapılmıştır. Hareket eden ortam yerine bu deneylerde su kullanılmıştır.

Test Şekilleri :

Girişler ve çıkışlar, akışı değiştirecek değişebilen boyut ve şekildeki toplam 18 adet menfezle çözümlenmiştir. Testler, güverteli ve güvertesiz durumlarda, muhtelif araç sayısı için, yine muhtelif dağılımlar ve hızlarda yapılmıştır.

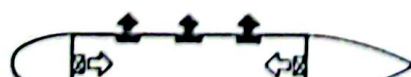
Testler, hava akımları ve giriş - çıkış menfezlerinin konabileceği en uygun yerler hakkında çok iyi fikir vermiştir. Bazı örnekler aşağıda açıklamaları ile beraber verilmiştir.



Boynu Havalandırma



Evine Havalandırma



Evine ve Boynu Havalandırma Birleştir



Evine ve Boynu Sistemlerin Birleştirildiği Bir Tesisat Örneği

Havalandırma Şekli

Güverte Yüksekliği

Yorumlar



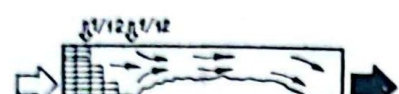
Yüksek

Kararsız akım. Bir tarafa doğru dönenler karşı tarafta kötü bir sirkülasyona delalet eder.



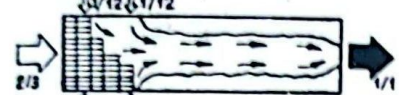
Alçak

Güverte hava akımını düzeltir ve dağıtır. Belirli asimetri, bir taraf boyunca kötü bir seyreltmeyi gösterir.



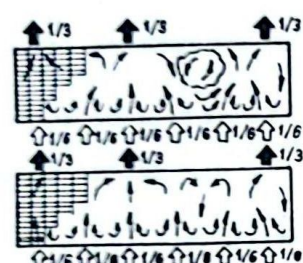
Yüksek

Birleşik boyuna ve enine akım. Araçların asimetrik yerleştirilmelerinden etkilenen hava akımı dolayısıyla bir tarafta fena sirkülasyonlu bir bölge kalmaktır.



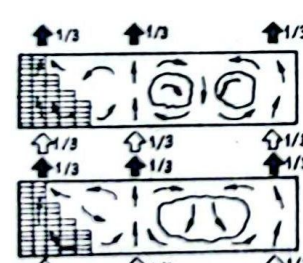
Alçak

Modelin yan duvarları boyunca fena sirkülasyonlu bölgeler kalıyor. Simetrik ve boyuna akış var.



Yüksek

Enine akım. Çıkış menfezleri arasındaki mesafe uzak olduğundan gaz kontrasyonu yüksek bölgeler kalmaktır.



Alçak

Bütün mahalde iyi bir gaz konsantrasyonu azalması mevcut.

Enine akım olmaksızın gaz konsantrasyonu azalması kuvvetli sirkülasyon var. Giriş menfezlerinin arasında çok büyük bir uzaklık var.

Yüksek

Nisbeten kötü gaz konsantrasyonu azaltması yapılarak meydana gelen bölgeler mevcut. Giriş menfezleri arasında çok büyük bir mesafe var.

Bibliyografya :

- 1) Svenska Fläktfabriken Review
Marine Edition
- 2) Marine Air Conditioning And Refrigeration.

**«DESTATÖR»
TANKERLERDE INFILAKLARI
ONLEMEN İÇİN YENİ
BİR METOD**

Çeviren: **Bülent ÖZGELİKMEN**
Gemi Inşa ve Mak. Y. Müh.

Petrol tankerlerindeki infilâklar uzun zamandır gemi sahiplerine, işletmecilere, sigorta şirketlerine ve bilhassa gemi mürettebatına devamlı korku ve afet gibi gözükmekeydi. 1969 Aralıkta aynı sınıf gemilerde benzer işlem yapılrken sertan daha tesirli üç hadise oluşmuştur. İngiliz tankeri Mactra, İskoç gemisi Margessa ve Norveç tankeri King Haakon VII deki infilâklar dikkatleri üzerine çekmiştir. Benzer tipteki infilâklar daha önce de olmuştu. Ve şimdide kadar devam etmektedir. Son zamanlarda oluşan infilâkların birisinde 216 326 DWT'luk Golar Matricia gemisi batmıştır. Bu şimdide kadar denizde kaybedilen en büyük gemidir.

1969 Aralık'taki üç infilâk ilmi araştırmaları hızlandırdı. Kazaları açıklayıcı birçok fikirler öne sürüldü, fakat gerçekte infilâk sebeplerini tam anlamıyla açıklayan somut bilgiler veya datalar çok azdı. Tankerlerdeki infilâklar fazla yaygın olmadığından bu hadiselerin sebeplerini saptayacak yoğun bir çalışma yapılmamıştır. Bununla birlikte 1969 yılındaki kayıplar kaza sebeplerini saptayacak ve daha sonraki kazaları önleyecek gelişmelerin yapılmasını gerektirdi. Örneğin dünya ticaret filosunun % 60'na sahip Uluslararası Nakliye Odası «International Chamber of Shipping» tanker komitesini birkaç ülkede sürdürümekte olan araştırma sonuçlarını elde etmek için bir alt komiteye ayırdı. Araştırmalar, bahsedilen üç tankerdan ziyade genel olarak bütün tankerlerdeki infilâklar üzerinde yoğunlaşmıştır.

**KAZALARDAN ELDE EDİLEN
TECRÜBELELER :**

Tecrübler, çarpışmadan veya insan hatasından dolayı oluşan balast halinde-

ki gemilerdeki infilâkların çoğunun tanklar temizlenirken meydana geldiğini göstermiştir. Bunu açıklayan üç esas sebep vardır. Birincisi tanktan boşaltılan fakat tam temizlenemeyen atmosfer genellikle infilâk sınırları içindedir. İkincisi temizleme işleminde kullanılan kuvvetli su jetleri tankta arta kalan petrolü karıştırır ve temizleme süresince daha fazla gaz oluşturur. Üçüncüsü tankta yıkama işlemi sırasında elektrostatik yükler artar ve bu da tutuşma kıvılcımını oluşturur.

Bütün dünyada elektrostatik indüklenmeden oluşan infilâkların gerçek istatistik analizlerini yapmak haberleşme metodlarının yetersizliğinden dolayı zordur. Bununla birlikte her sene 15 ila 20 infilâk olasılığı ve bunların gittikçe artacağı tahmin edilmektedir. Dünya ticaret filosunun 3400 tanker olduğunu düşünürsek kaza olasılığı gerçekten azdır. Fakat kazalardan dolayı insan ve mal kaybı kücümsemeyecek kadar ciddidir.

Tank temizlemesi uzun senelerdir ve zamanımızda da ham petrol taşıyan gemilerin sefer esnasında yaptıkları bir işlemidir. Gemilerin yükleme limanlarına varmadan önce tanklarını temizlemesi, tanklarda tortu birikmesini önlemek ve kontrol, bakım, tamirat için insan girebilecek şekilde gazlardan temizlenmesi için önemlidir. Bundan dolayı temizleme genellikle dönüste, boş halde yapılır.

Tanklar ne kadar iyi temizlenirse temizlensin, gene de artık ham petrol kahr. Temizlemede yüksek hızda su jetleri kullanılır. Onceleri portatif makinalar kullanılmaktı idi. Fakat son günlerde büyük tankları olan büyük gemilerin gelişmesi ile tank içine sabit olarak yerleştirilen kuvvetli makinalar kullanılmaya başlan-

d). Bu su jetleri 10 atmosfer de $175 \text{ m}^3/\text{saat}$ ve 30 m/san. hız ile çalışır.

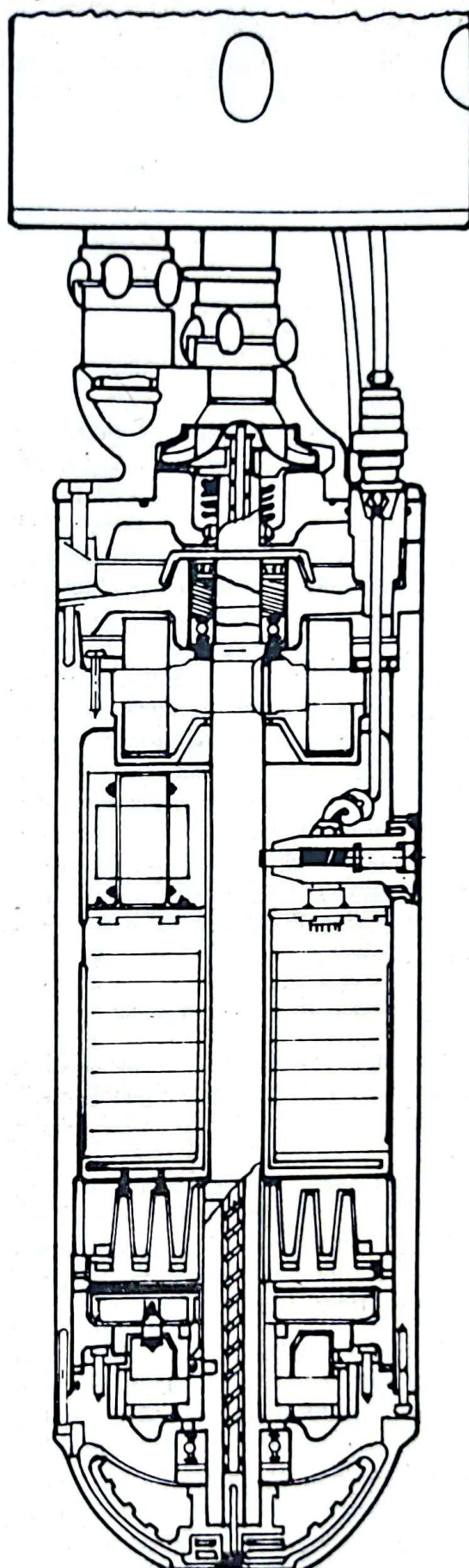
TANKLARIN ELEKTROSTATIK YÜKLENMESİ :

Gemilerde yapılan deneyler yıkama esnasında tankların içinde elektrostatik yükün olduğunu göstermiştir. Bu yük, yıkama jetlerinin tank duvarlarına ve konstrüksiyonlarına çarpıp zerreçiklere ayrılmasıyla oluşur. Sonuç olarak yıkama esnasında tankı dolduran su zerreçikleri üzerinde net bir şarj kalır.

Bu senelerce bilinmesine rağmen, tanker işletmecileri bunun önemini 1969 infilâklarına kadar anlayamadılar. 12000 m^3 'luk bir tankta jet temizleme ile yapılan deneyler elektrostatik yükün 30 dakika kada $4 \times 10^{-8} \text{ coulomb}/\text{m}^3$ 'e çıktığını göstermiştir. Tankın merkezindeki voltaj 40000 voltur. Yük tabakalarının büyülüüğünü ve işaretti ($+$, $-$), yıkama suyunda kullanılan tank temizleme kimyasal madde dellerine ve suyun sıcaklığına bağlıdır. Şarjin yükselme hızı ilk önce çok fazladır. Yıkama işleminin ilk 6 dakikasında erişebileceği yükün yarısı kadar olur.

Su çarpma «Slug» Teorisi :

Yıkama makinalarının oluşturduğu elektrik alanlarının büyülüüğü tank içinde çeşitli kömür deşarjlarına sebep olmasına rağmen atesleme oluşturacak kadar şiddetli değildir. Büyük elektrik alanları tank içindeki çıkışlıklar üzerinde oluşur. Tank içindeki elektrik alanı tesiri ile yüklenen metal bir alet, boru... v.s. gibi bir iletken düşüp çıkışlıklarına yaklaşırken kivircim deşarjını oluşturur. Çarpan su parçacıkları ile metal parçacıkları arasında elektrik tepkisi bakımından tam bir benzerlik olduğu görülmüştür. Margessa, Mactra ve King Haakon gemilerindeki infilâklar temizleme esnasında çarpan su kütlelerinin oluşturduğu tehlikeli elektrik kivircimleri ile oluşturduğu sonucuna varılmıştır. Halâ çarpan su kütlesi teorisiksin bir şekilde ispatlanmasına rağmen başlatıcı mekanizma olarak kabul edilmektedir.



Şekil : Destatör Kesiti

Üstte su türbini ve altında bağlı olduğu alternatör, daha aşağıda dönmeyen devre kartları kapasitör ve duyarıcı valfler görülmektedir.

Bir infilâkin oluşması, aşağıdaki üç faktörün aynı anda meydana gelmesiyle mümkündür.

- 1 — Yakıtın (Hidrokarbon) bulunması,
- 2 — Belli bir oranda oksijenin bulunması,
- 3 — İnfilâki başlatacak kadar yeterli enerjisi olan mekanizmanın bulunması.

Tam emniyet durumu, üç faktörden birinin veya daha fazlasının yok edilmesi ile elde edilir. Birincinin petrol tankeri halinde yakıtın yok edilemeyeceği açıkları. Sonuç olarak oksijen veya infilâk mekanizmasının birinin veya her ikisinin yok edilme tekniği kullanılır. Oksijenin yok edilmesi gemiyi inert gaz sistemi ile tıhiz ederek mümkün olur. Bununla birlikte uygulamada bu sistem birçok sorunlar çıkarır ve sonuç olarak daha az masraflı ve daha basit teknik kullanılır. Bu da üçüncüün (infilâk mekanizmasının) yok edilme tekniğidir. Bu cihaz, yıkama makinalarının tanklarda oluşturduğu elektrostatik yükleri yok etmek için otomatik ve sürekli olarak çalışan bir deşarj mekanizmasıdır.

Elektrostatik Deşarj Teorisi :

Bir İspanyol bilgini Juan de la Cierva, tankerlerin elektrostatik problemlerine çare olarak basit ve ucuz bir çözüm geliştirdi. Destatör sistemi; oluşan yük tabakasına karşı aynı miktarda fakat zit kutupta elektrostatik bir şarj oluşturma esasına dayanmaktadır. Bu işlem devamlı ve süreli olarak bir duyarıcının (sensar) kontrolu altında yapılır.

Destatör teorisinin esas fizibilitesini saptamak için Haziran 1970 ve Temmuz 1971 tarihleri arasında bir araştırma ve test programı yapıldı. Çalışmalar küçük tanklarda ve gassız Astoga gemisinin büyük tankında yapılan testleri kapsamaktaydı. Bu program gerçekten başarılı idi, ve yoğun şarj tabakalarını bir

faktör ile birkaç yüz defa azaltıp tehlikeyi yok edecek Destatör fizibilitesini ispatladı.

Destatör geliştirme programına Mart 1972 de başlandı ve 1974 de bitirildi. Bugün destatör igin gerekli bütün teknik ve çalışma özellikleri saptanmıştır.

Destatör Teçhizatı :

Destatör iki kısımdan oluşmaktadır. Üstte tank içine elektrostatik şarj tabakası yayma görevini yapan su iyonlaştırma tabancaları vardır. Altta su türbini ile çalışan alan duyarıcıları vardır. Destatör tank içine yerleştirilir ve tank temizlemede kullanılan ana borunun gidiş ve döndüşüne bağlanır. Böylece çalıştırılması için fazladan bir elektrik gücü istenmez, su jeti ile çalışır. Destatör bir mekanizma ile mümkün olduğu kadar tank merkezine yerleştirilir.

Duyarıcı kısmı özel şekilde dizayn edilmiş tank içinde oluşan şarj tabakasını tesbit eden bir elektrostaki alan ölçme cihazı sahiptir. Tesbit edilen yük (+) veya (-) olmasına göre uygun devrelerden geçip belli bir büyütmeden sonra sistemin emniyetini sağlayacak şekilde üst kısımdaki su iyonlaştırma tabancasına gönderilir.

Destatörden geçen atomize su, elektrostatik olarak yüklenir ve yıkama tıhizatının oluşturduğu şarj tabakasını nötralize etmek üzere yayılır. Bu şekilde tank içindeki net yük sıfıra yakın tutulur. Destatörün oluşturduğu yük tabagasi duyarıcı tarafından devamlı kontrol edilir ve yıkama tıhizatının oluşturduğu yüke eşit fakat zit yükü oluşturur.

Tank içine binlerce volt'a erisen elektrostatik alan, destatör ile birkaç volta indirilip yanım olasılığı önlenir. Son geliştirilen destatör yaklaşık 5 ft uzunluğunda 0,75 ft çapta ve 250 pound ağırlığındadır.

37 m³/saat debide çalışır. Bugün geliştirilmiş destatörlerin gemilerde ve diğer tanklarda kullanılabileceği gösterilmiştir.

TERSANELERİMİZİN İŞ DURUMLARI

CAMIALTı TERSANESİ

Gemi Tipi	Sahibi	DWT. GRT	DEPL. TON	LOA LAP (m)	B (m)	D (m)	d (m)	Makina Tipi	V Knot	Diger Bilgiler
Feribot (2. Ad.)	D.B. Dz. Yol.	3400 GRT.	3376	91.40 81.40	16.50	6.20	4.20	2×400 BHP Stork werkspoor 6 TM 410	18	1. Gemi Nisan 1995 2. Gemi Temmuz 1976'da teslim edilecektir. İki gemi ninde rıhtumda teçhiz işleri de- vam ediyor.
Cevher Gemisi (3 ad.)	D.B. Dz. Nakl.	18000 DWT.	23600	154.0000 145.000	22.40	12.50	9.14	9000 BHP SULZER 6 RND 68	15,5	I. Geminin ki- zakta montajı devam ediyor.
Konteyner Gemisi (6 Ad.)	D.B. Dz. Nakl.	5500 DWT.	9160	108.70 102.38	17	9.59	7.49	600 BHP Diesel	15	Dizayn ve malz. temini şahsma- lari yapılıyor. Çelik inşaatta başlanmadı.

HALİÇ TERSANESİ

Gemi Tipi	Sahibi	DWT GRT	DEPL. TON	LAO LBP (m)	B(m)	D(m)	d(m)	Makina Tipi	BHP V (Knot)	Diger Bilgiler
Marmara hattı Yolcu Gemileri AVSA	Dz. Yolları	—	1325	80,23 71,90	12,00	4,40	3,00	FIAT 368 C	2×1400 16 Mil	Teslim edildi.
ULUDAĞ	»	»	1843	»	»	»	»	»	»	Devam ediyor.
Vangölü Tren Ferileri TATVAN	»	—	1548	2192	81,85 75,00	14,50	5,25	3,35	MWM tbd50084B	Bitmek üzere 2×1700 14 Mil
VAN	»	»	»	»	»	»	»	»	»	Devam ediyor.
SEHIR HATTI GEMİLERİ	Sehir Hat.	—	684	58,20 52,80	10,60	3,60	2,40	Stork DRD-218K	2×750 15 Mil	2 A. Denize indi
Adem Yavuz	»	»	»	»	»	»	»	»	»	»
Karaoglanoğlu	»	»	»	»	»	»	»	»	»	»
Sami Akbulut	»	»	»	»	»	»	»	»	»	2 Ad. Kızakta
Necati Gürkaya	»	»	»	»	»	»	»	»	»	»
Çaner Gönyeli	»	»	»	»	»	»	»	»	»	»
Temel Şimsir	»	»	»	»	»	»	»	»	»	»

DENİZCİLİK BANKASI T.A.O. ALAYBEY TERSANESİ SON İŞ DURUMU

Gemi Tipi	Sahibi	D.W.T GRT	DEPL. TON	LOA LBP (m)	B (m)	D (m)	d(m)	Makina Tipi	B.H.P. V (Knot)	Diger Bilgiler
Romorkör	İst. liman. İşletmesi	—	562	36.15 32.80	8.90	5.10	3.90	Nohab diesel	2500	İthal Malzemeleri beklenen mekte
Romorkör	» »	—	562	36.15 32.08	8.90	5.10	3.90	»	2500	» »
Körfez vapuru	Izmir İşletmesi	—	1100 Yolcu	47.95 45.12	8.05	3.15	2.00	Dizel Stork	2×550 12	Üst binaların inşaatı yapılmakta
Körfez vapuru	Izmir İşletmesi	—	1100 Yolcu	47.95 45.12	8.05	3.15	2.00	Dizel Stork	2×550 12	Üst binaların inşaatı yapılmakta
Romorkör	Izmir İşletmesi	108	180	26.15	6.70	3.45	3.10	Dizel A.B.C.	900 BHP.	İthal Malzemesi Sip. bağlandı
Romorkör	Izmir İşletmesi	108	180	26.15	6.70	3.45	3.10	Dizel A.B.C.	900 »	» » »
Romorkör	Trabzon İşletmesi	108	180	26.15	6.70	3.45	3.10	Dizel A.B.C.	900 »	» » »
Romorkör	Trabzon İşletmesi	108	180	26.15	6.70	3.45	3.10	Dizel A.B.C.	900 »	» » »

Palamar ve Kılavuz Mot.	T.C.D.D	12	8.9	10.35	3.30	1.73	0.96	BMC » Dizel	80—100 9	Temmuz 1975 Teslim edildi.
Palamer ve Kılavuz Mot.	T.C.D.D	12	8.9	10.35	3.30	1.73	0.96	BMC » Dizel	80—100 9	» »
Palamer ve Kılavuz Mot.	İzmir İsl.	12	8.9	10.35	3.30	1.73	0.96	BMC »	80—100 9	Haziran 1975 Omurgaları atıldı.
Palamer ve Kılavuz Mot.	» »	12	8.9	10.35	3.30	1.73	0.96	BMC »	80—100 9	» » »
Palamer ve Kılavuz Mot.	» »	12	8.9	10.35	3.30	1.73	0.96	BMC »	80—100 9	» » »
Palamer ve Kılavuz Mot.	Trabzon İşletmesi	12	8.9	10.35	3.30	1.73	0.96	BMC »	80—100 9	» » »
» »	» »	12	8.9	10.35	3.30	1.73	0.96	BMC »	80—100 9	» » »
Romorkör	T.C.D.D			26.15	6.70	3.45	3.10	Dizel	1500 HP.	
Romorkör	T.C.C.D			26.15	6.70	3.45	3.10	Dizel	1500 HP.	

İSTİNYE TERSANESİ

Gemi Tipi	Sahibi	DWT GRT	DERL. TON	LOA LBP	B(m)	D(m)	Makina Tipi	BHP V(Knot)	Diger Bilgiler
Sehir hatti Yolcu Gemisi	Şehir Hattları	GROS takriben 450	684	58,20 28,20	10,60	3,60	2,40	—	Sadece Çiplak tekne inşa edilecek

HASKÖY TERSANESİ

Gemi Tipi	Sahibi	DWT GRT	DEPL. TON	LOA LBP (m)	B(m)	D(m)	d (m)	Makina Tipi	BHP V (Knot)	Diğer Bilgiler
250 Hp Yangın Rom.	Ulaştırma Bakanlığı	2500	—	36.23	8.90	5.10	3.64	Dizel	—	Sartname ve Sözleşmesi Ha zırlanmış olup Onaydan sonra başlanmıştır
Palamer	Demir Çelik	17	—	10.35	3.30	1.73	0.85	2×225	—	4
Hizmet Mot.	Deniz Nakliyat	40	—	21.00	5.25	2.50	1.60	250	—	4

GÖLCÜK TERSANESİ

Gemi Tipi	Sahibi	DWT GRT	DEPL. TON	LOA LBP (m)	B(m)	D(m)	d (m)	Makine Tipi	BHP V (Knot)	Diğer Bilgiler
Cevher gemisi No. 1 ve 2	D.B Nakliyat	18000	23600	154 m. 145 m.	224	12,5 m. a	9.14 Yüklü	Dizel	10.000 15.5	No. 1 24 Temmuzda denizde indi No.2 Kızığa konuldu
Çıkarma gemileri	Dz.K.K.	—	600	56,56 52,4	11.58	3.17	1.20	Dizel	900 8,5 mil	No 2 LCT. 24 Kızakta
100 DWT Denizaltı	Dz.K.K.	—	1000	55.87	6.20	—	—	Dizel Batarya	—	24 Temmuzda Omurgası kızakta kondu

TAŞKIZAK TERSANESİ

Gemi Tipi	Sahibi	DWT GRT	DEPL. TON	LOA LBP (m)	B(m)	D (m)	d (m)	Makina Tipi	BHP V (Knot)	Diğer Bilgiler
KURU YÜK GEMİSİ	DB. Deniz Nakliyat		8500	108.70 102.38	17.00	9.40	7.05	MAK		
TANKER	PETROL OFİSİ		7700	111.12 105.00	16.15	8.20	6.40	SASM	13.5 MIL	

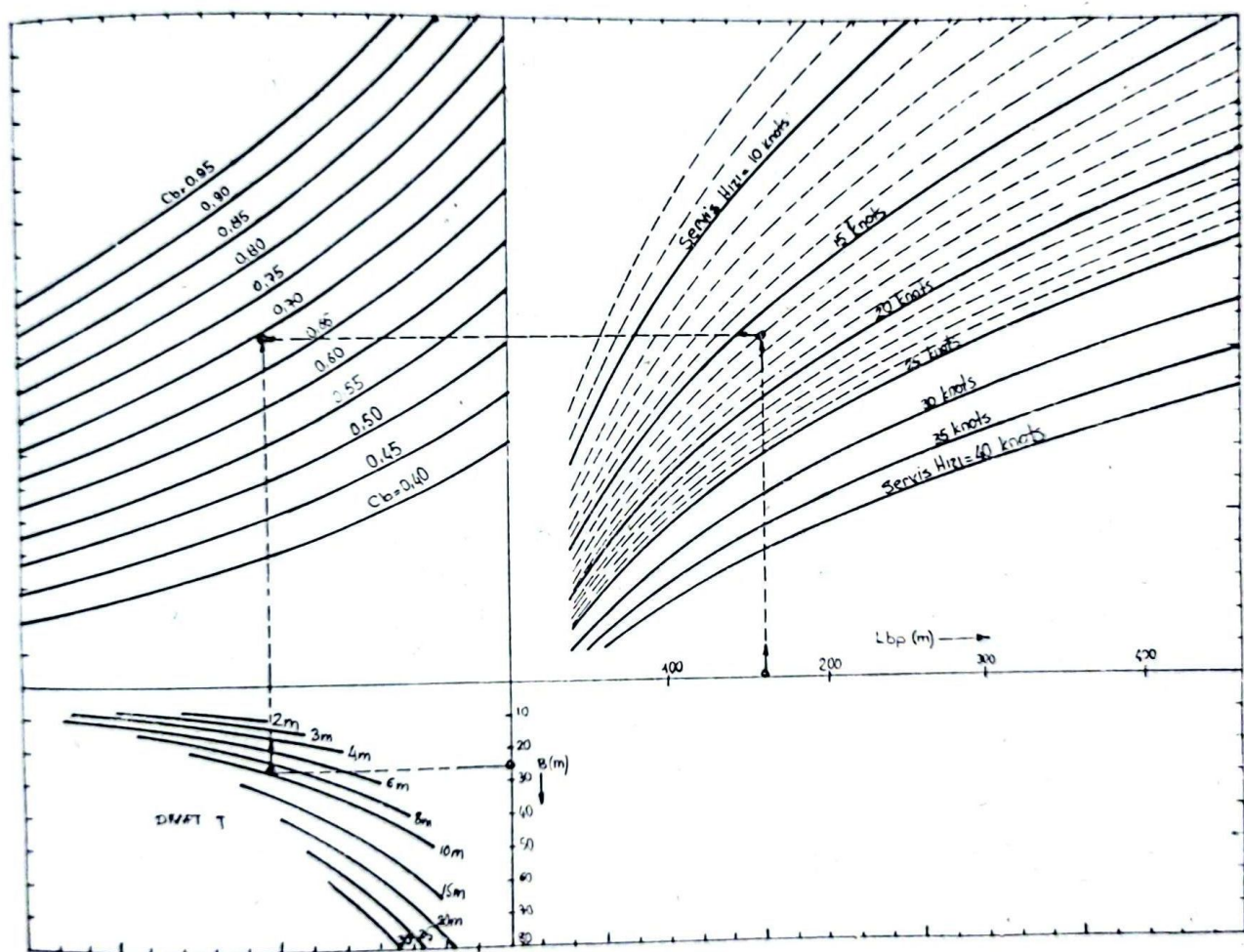
GAYE TERSANESİ

Gemi Tipi	Sahibi	DWT GRT	DEPF. TON	LOA LBP (m)	B(m)	D (m)	d (m)	Makine Tipi	BHP V (Knot)	Diğer Bilgiler
KOSTER	CESUR ÇEBİ -KAPTAN OĞLU	2500	3500	79, Mi. 72, Mi.	12.25	6.30		SKODA (1600)	1600 11.5 knot	—

Geçen sayıımızda çıkan (Sayı: 60 Temmuz 1975) Sayın Nurettin GÜRPINAR'a ait «Optimum Blok Katsayıını Veren Ustası Bir Formüllə» başlıklı yazida bazı düzgit hataları olmuş ve bir şeklär unutulmuştur. Temmuz sayısına bir eklenmiş olmak üzere düzeltir, siz okurlarımızdan özür dileriz.

DÜZELTMELER

YERİ	YANLIŞ	DOĞRU
Sahife 25, (2) No.lu formüllər	$C_B = 1,06 - 0,5 V / \sqrt{L}$ (Eyre)	$C_B = 1,06 - 0,5 V / \sqrt{L}$ (Ayre)
Sahife 25, 2. sütun 1. satır	son 30 yıl	son 10 yıl
Sahife 26, 1. sütun 4. satır	(B/C) - e	(B/T) - e
» » » » 5. »	C_B nin $L^{a+b+c+d}$	C'_B nin $L^{a+b+c+d/2}$
» » » » 8. »	$a+b+d/20$	$a+b+c+d/2 \neq 0$
» » » » 17. »	C deki	C_B deki
» » » » 18. »	aşağıdakiler	aşağıdakiler
Sahife 27, Cetvel 2. nin başlığı	Muhtelif C formüllerine	Muhtelif C_B formüllerine



Şekil: 1

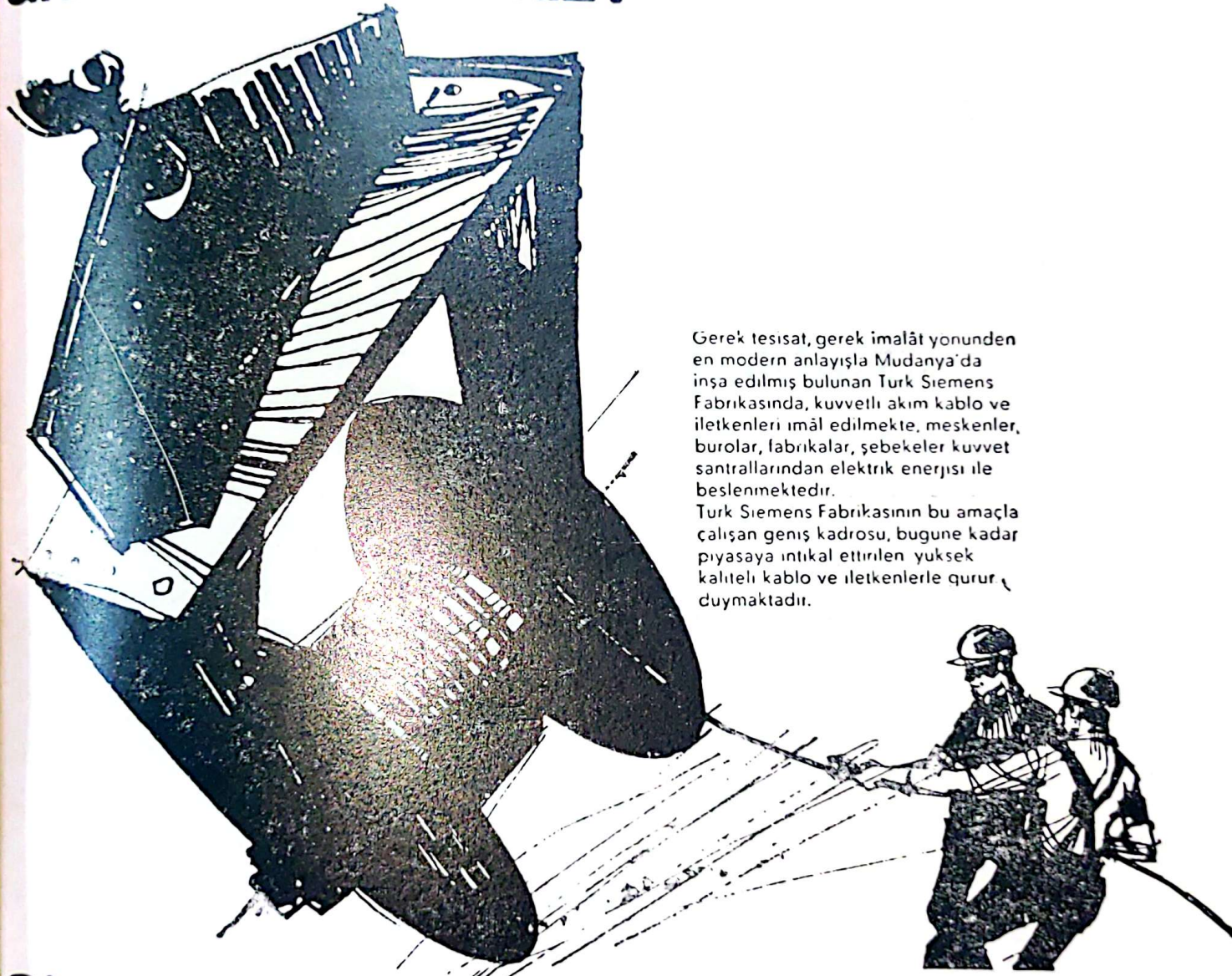
Blok Katsayısı Diyagramı

Örnek olarak, İşlenmiş Petrol taşıyan bir gemi alınmıştır.

$$LZ_{BP} = 160 \text{ m}, B = 26 \text{ m}, T = 10 \text{ m}, V = 16 \text{ Knot}$$

$$C_b = 1,05 \times 0,69 = 0,725$$

Kabloları, bir defa tesis edip, sürekli çalışmasını arzu etmez misiniz?



Gerek tesisat, gerek imalât yönünden en modern anlayışla Mudanya'da inşa edilmiş bulunan Türk Siemens Fabrikasında, kuvvetli akım kablo ve iletkenleri imâl edilmekte, meskenler, burolar, fabrikalar, şebekeler kuvvet santrallarından elektrik enerjisi ile beslenmektedir.

Türk Siemens Fabrikasının bu amaçla çalışan geniş kadrosu, bugune kadar piyasaya intikal ettirilen yüksek kaliteli kablo ve iletkenlerle qurur duymaktadır.

Siemens'in Türkiye Umumi Mümessili Simko ile görüşünüz.

SIMKO
Ticaret ve Sanayi A.Ş.

İstanbul:
P.K. 64 Tophane
Telefon: 452090
Telex: 270

Ankara:
P.K. 48 Yenişehir
Telefon: 182205
Telex: 52

İzmir:
P.K. 481
Telefon: 38619
Telex: 75

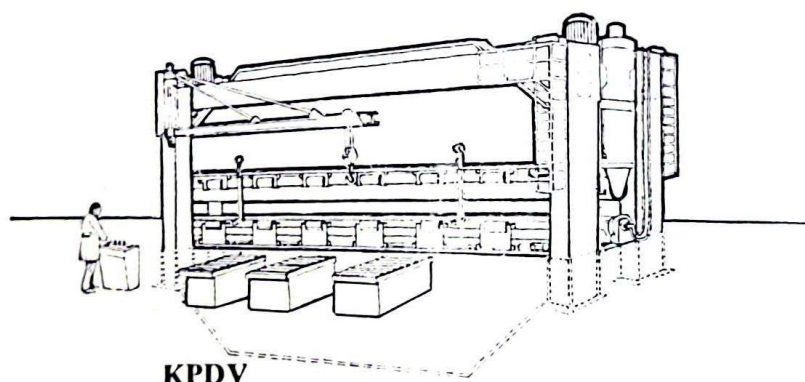
Adana:
Telefon: 2962
Telex: 35



PULLMAX AB

GÖTEBORG 1 · SWEDEN

GEMİ İNŞAATINDA
VE
HER TÜRLÜ SAC İŞLERİNDEN
KULLANILAN
TEZGÂHLAR

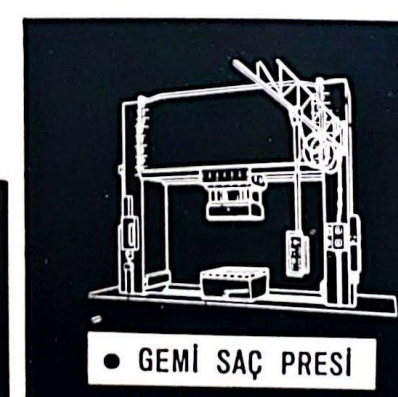


• KIVIRMA ve BÜKME PRESİ

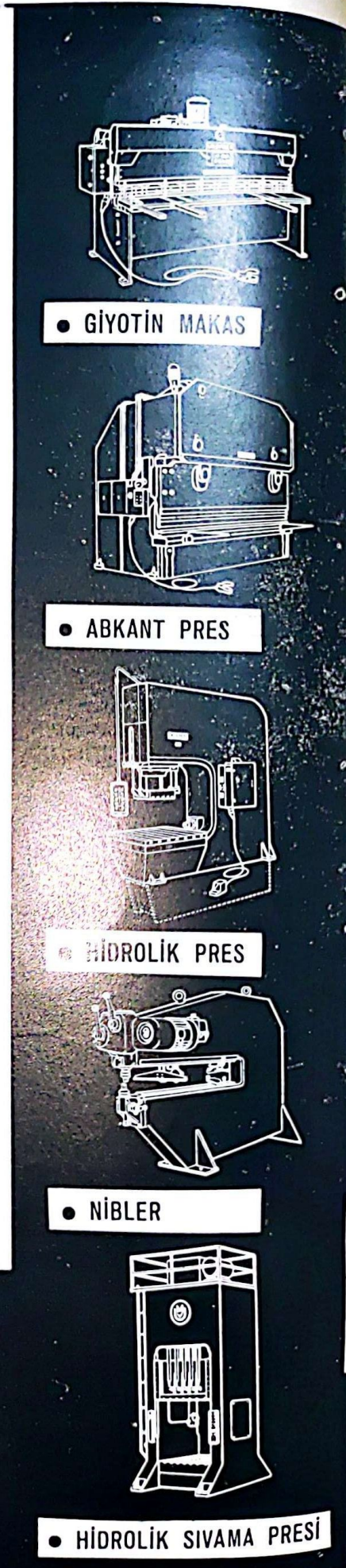
MÜMESSİLİ

TEKNİKEL

TİCARET ve SANAYİ A. ŞTİ.
Karaköy - Necatibey Cad. 90/A
İSTANBUL - Tel. : 49 73 10



• GEMİ SAC PRESİ



TÜRK GEMİ İNŞA SANAYİİNİN EN BÜYÜKLERİ

- Türk tersanelerinde inşa edilen
EN BÜYÜK LPG tankeri :
1300 M³ MT AYGAZ II (MT ALEVGAZ) (1972)
- Türk tersanelerinde yapılan
EN BÜYÜK tamir ve tadil ameliyesi (jumboising) :
1500 - 2300, DWT MT YARIMCA (1972)
- Özel sektörde özel sektörde inşa ettiği
EN BÜYÜK akaryakıt tankeri :
5300 DWT MT Merzifon (1973)

**MARMARA TRANSPORT A.Ş.
MARMARA TERSANESİ**

Merkez : Meclisi Mebusan Caddesi No. 7
Salıpazarı Han, Kat 9
FINDIKLI - İSTANBUL

Telefon : 43 03 74 - 75

Telgraf : Marport İstanbul

Teleks : 22532 marp

Tersane

Telefon : YARIMCA 196





TİVİ reklam

BÖYLE OLMAZ

Geleceğinizi
sağlam temeller
üzerine oturtun



TÜRK TİCARET BANKASI

EDİRNE'den KARS'a kadar yurdun her köşesinde hizmetinizde

Koçtuğ Denizcilik ve Ticaret A.Ş.



Genel Müdürlüğü

Bankalar Caddesi, Bozkurt Han Kat 4
KARAKÖY — İSTANBUL

Telefon : 44 46 15
Telgraf : KOÇTUĞ - İSTANBUL

DENİZCİLİĞİMİZE HİZMET DUYGUSUYLA
DOĞMUŞ BİR KURULUŞ

SITKI KOÇMAN - SELÂHATTİN GÖKTUĞ
KOÇTUĞ DENİZCİLİK İŞLETMESİ
İSTANBUL

BÜTÜN DÜNYA İÇİN BAŞ ACENTELİĞİ

AMERICAN EXPORT LINES INC.
NEW YORK
TÜRKİYE GENEL ACENTELİĞİ

PHS. VAN OMMEREN N. V.
ROTTERDAM

MINILINE, PIRAEUS
TÜRKİYE GENEL ACENTELİĞİ

Teleks : 22522, 3, 4
P. K. : 884 - Karaköy

İZMİR ŞUBESİ

Gazi Bulvarı No. 85 - İzmir
Telefon: 32 506 - 32 888 - P.K. 874
Telgraf: KOÇTUĞ - İzmir - Teleks - 52258

İSKENDERUN ŞUBESİ

Atatürk Bulvarı No. 65/3 - İskenderun
Telefon: 26 73 - 31 73
Telgraf: KOÇTUĞ - İskenderun - P.K. 273
Teleks : 68128

ANKARA BÜROSU

Meşrutiyet Caddesi Servet Apt. No. 5/5
Yenişehir - Ankara
Telefon: 12 62 46
Telgraf: KOÇTUĞ - Ankara - Teleks - 42322

MERSİN BÜROSU

Uray Caddesi No. 53/1 - Mersin
Telefon: 14 44
Telgraf: KOÇTUĞ - P.K. 207

Her türlü Denizecilik, Gemi İşletmeciliği, Kiralama, Ulaştırma, Yükleme
ve Boğaltma, Sevkiyat, Ambarlama, Gümrükleme, v.s. işleriniz için
bütün imkânları hıznetinizdedir.
İlkemiz tam bir çözüm, amacımız sizi memnun edebilmektir.



D.B. DENİZ NAKLİYATI T.A.Ş. GENEL MÜDÜRLÜĞÜ

Değerli Kaptanları ve titiz personeli ile Türkiye'nin en güçlü ticaret filosuna dahil, yeni, modern ve sür'atli gemilerin Amerika, Kontinent, Adriyatik, Akdeniz hattı sefer programını her zaman hizmetine amade olduğu, sayın ithalât ve ihracatçılarımızın dikkat nazarına sunar.

MUNTAZAM SEFERLER

AMERİKA
KUZEY LİMANLARI HATTI
(Ayda 2 sefer)

UĞRAK LİMANLARI

NEW YORK
PHILADELPHIA
NORPOLD
BALTIMORE

12460 DWT 18 Mil sür'atli gemilerimiz sefer yapmaktadır.

AMERİKA
GÜNEY LİMANLARI HATTI
(Ayda 1 sefer)

SAVANNAH
JACKSONVILLE
NEWORLEANS
HOUSTON
MOBİLE

12460 DWT 18 Mil sür'atli gemilerimiz sefer yapmaktadır.

KONTİNANT HATTI
(Ayda 4 sefer)

ROTTERDAM
ANVERS
BREMEN
HAMBURG

5085 - 12065 DWT 15 - 18 Mil sür'atli gemilerimiz sefer yapmaktadır.

İNGİLTERE HATTI
(Ayda 4 sefer)

LONDRA
LİVERPOL

5035 - 12065 DWT 13 - 18 Mil sür'atli gemilerimiz sefer yapmaktadır.

ADRİYATİK HATTI
(Ayda 2 sefer)

TRİESTE
VENEDİK

920 - 3900 DWT 12,7 Mil sür'atli gemilerimiz sefer yapmaktadır.

AKDENİZ HATTI
(Ayda 2 sefer)

GENOA
MARSİLYA
BARCELONA

920 - 3900 DWT 12,7 Mil sür'atli gemilerimiz sefer yapmaktadır.

MÜRACAAT: MERKEZ: D. B. DENİZ NAKLİYATI T. A. Ş. Genel Md.

Ticaret Ünitesi

Telefon : 44 38 72 - 45 15 38 - 45 21 20

Telgraf : DBCARGO/İSTANBUL

Telex : 506 - 292 İSTANBUL

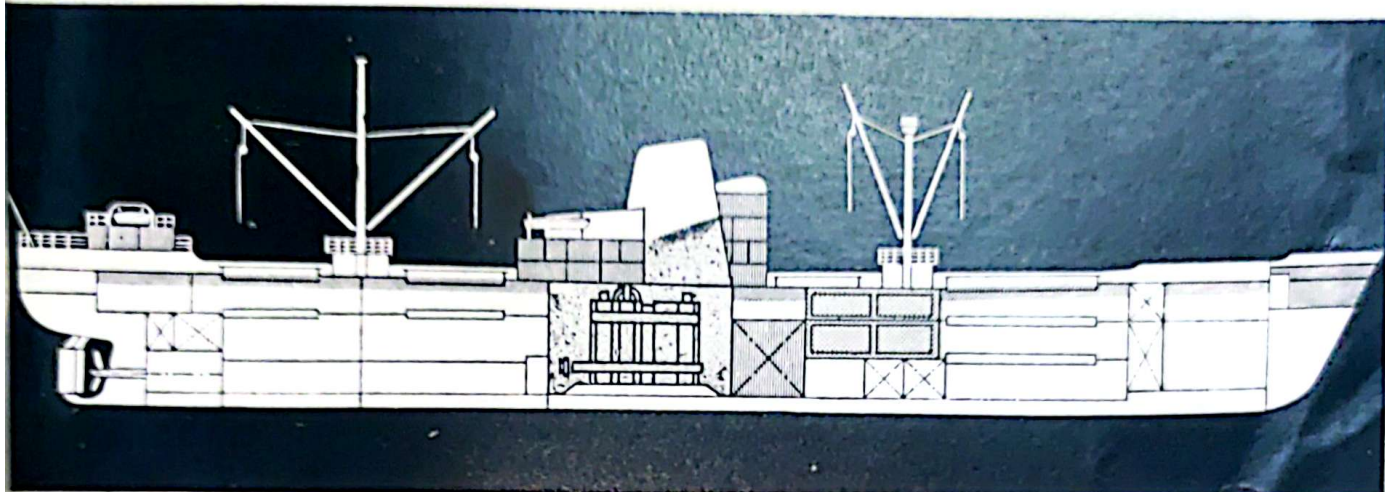
Nöbetçi Müdürlüğü : Tatil günleri ve gece (Mesai hariç)

Telefon: 45 21 20 - 44 78 62

GEMİLERİN
SICAK - SOĞUK - SES İZOLASYONUNDA

İZOCAM®

(Uluslararası Lloyd Kuruluşunun şartlarına uygundur)



Güverte ve duvarların ısı izolasyonu

Terlemeye karşı izolasyon

Soğuk odaların izolasyonu

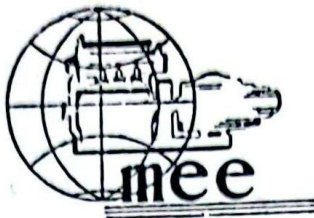
Makinelerin ve makine dairesinin, egzos borularının, kapitan köprüsünün, telsiz odasının ve kabinelerin ses izolasyonu

İZOCAM®'in özelliklerini

- yanmaz
- en yüksek ısı ve ses izolasyon değerli
- hasarlı barındırmaz
- çürümez
- higroskopik değildir
- basıncı mukavim ve elâstiktir
- sarsıntıdan müteessir olmaz, elyafı kırılıp dökülmez
- borularda, saç levhalarda paslanma ve korozyon yapmaz
- ekonomiktir
- asillerin tesiri ile bozulmaz
- Türkiye'de yapılan harp gemilerinde, Denizcilik Bankasının gemilerinde başarı ile kullanılmaktadır

HER TÜRLÜ TEKNİK BİLGİ İÇİN TEKNİK MÜŞAVİRLİK BÜROLARIMIZ ÜCRETSİZ EMRİNİZDEDİR:

İSTANBUL	ANKARA	İZMİR	BURSA	ADANA	ESENÇ	İSKENDERUN
49 84 51	17 46 16	34 859	12 470	12 633	22 56	
45 35 68						



ŠKODA

- 260 - 3000 PS GEMİ DİZEL MOTORLARI
- DİZEL - ELEKTROJEN GRUPLARI
- YARDIMCI DİZEL MOTORLARI



THEODOOR ZEISE - HAMBURG

- GEMİ PERVANELERİ
- KANATLARI AYARLANABİLEN PERVANEler
- KOMPLE GEMİ ŞAFT HATLARI
- ŞAFT KOVANLARI ve HUSUSİ CONTALAR



C. PLATH - HAMBURG

- SEYİR ALETLERİ
- OTO PİLOT (OTOMATİK DÜMEN) TEŞHİZATI
- TELSİZ KERTERİZ CİHAZI

FRIED. KRUPP ATLAS-ELEKTRONİK-BREMEN



- RADAR CİHAZLARI
- İSKANDİL CİHAZLARI
- BALIK ARAMA CİHAZLARI



- DEMİR IRGATI
- TONOZ IRGATI
- MATAFORA VİNÇİ



FRÖNDENBERGER KETTENFABRIK
HEINRICH PRÜNTE
FRÖNDENBERG — RUHR
ÇAPA ve ZİNCİR

Ayrıca: POMPA, HİDROLİK VE KOMPRESÖR
GRUPLARI, DINAMOLAR, GEMİ SAÇLARI
NAYLON HALAT İHTİYAÇLARINIZ İÇİN

MAKİNA ELEKTRİK EVİ

LİMİTED ŞİRKETİ

ŞARTLARLA HİZMETİNİZDEDİR.

Telefon 49 17 85
Telgraf: OKYANUS

ANKARA

Uluslararası Sanayi Cad. No. 30/A
Tel: 11 22 28 - 11 39 48